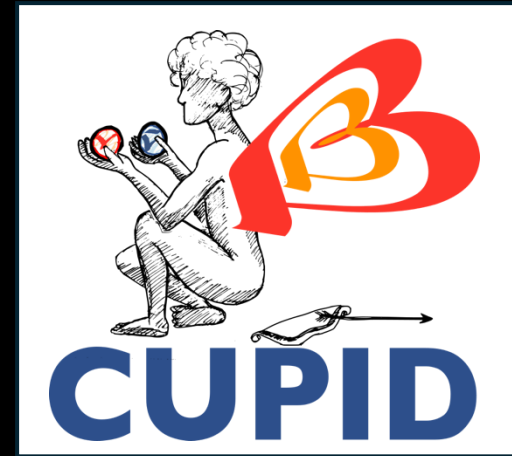


Probing the Majorana Nature of the Neutrino with CUORE and CUPID

Tyler Johnson

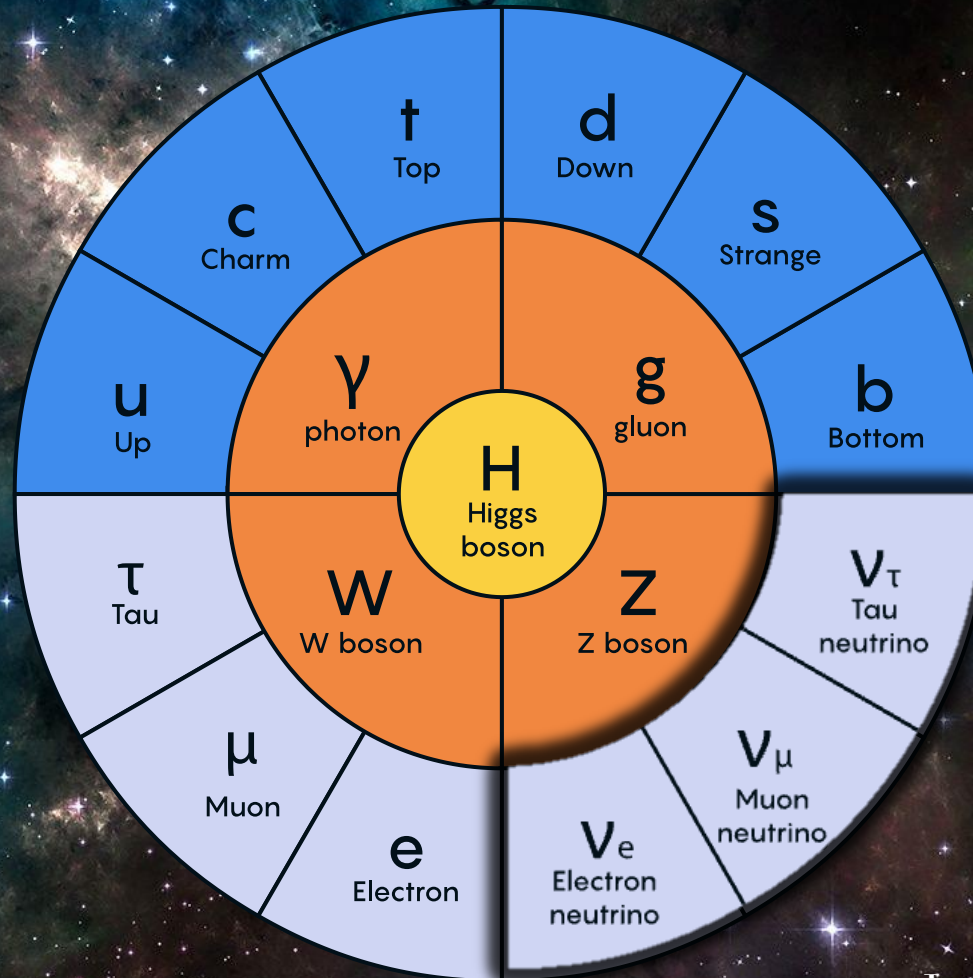
Yale



The Standard Model of Particle Physics

Neutrinos have a lot of interesting quirks

- ❖ Neutrinos are massive (despite prediction they aren't), but much smaller than their peers
- ❖ Might be their own anti-particle
- ❖ They rarely interact with matter, thus measurements are often sparse

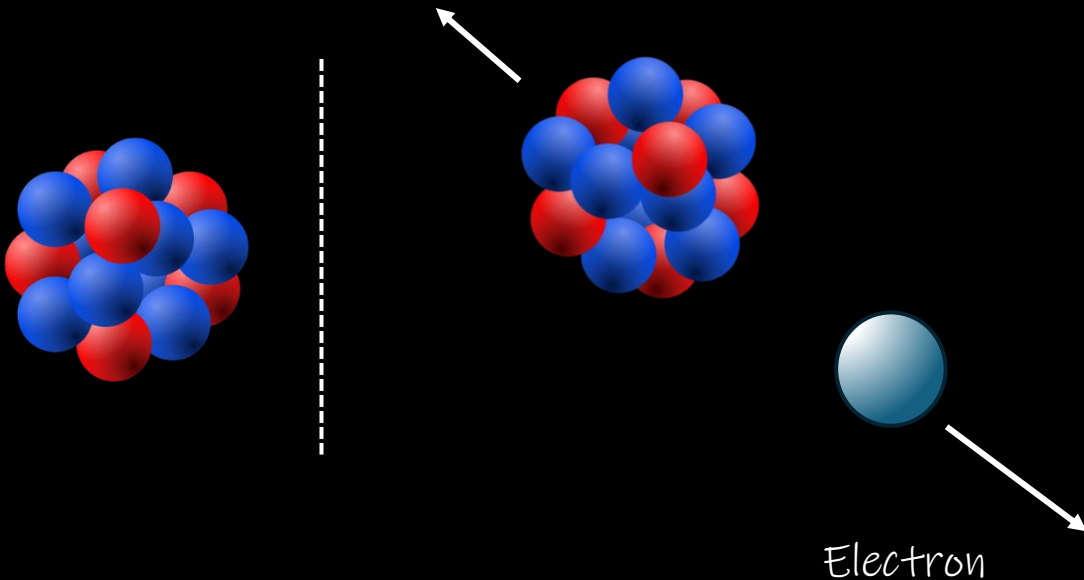


FERMIONS (MATTER) BOSONS (FORCE CARRIERS)
● QUARKS ● LEPTONS ● GAUGE BOSONS ● HIGGS BOSON

Image from Quanta Magazine

“Dear Radioactive Ladies and Gentlemen...”

- ❖ Beta decay (as it was then understood) posed a grave threat to the Conservation of Energy



Original - Photocopy of PLC 0393
Abschrift/15.12.96 FM

Offener Brief an die Gruppe der Radioaktiven bei der
Gauvereins-Tagung zu Tübingen.

Abschrift

Physikalisches Institut
der Eidg. Technischen Hochschule
Zürich

Zürich, 4. Dez. 1930
Cloriastrasse

Liebe Radioaktive Damen und Herren,

Wie der Ueberbringer dieser Zeilen, den ich baldvöllst
ansuhören bitte, Ihnen des näheren auseinandersetzen wird, bin ich
angesichts der "falschen" Statistik der N- und Li-6 Kerne, sowie
des kontinuierlichen beta-Spektrums auf einen verzweifelten Ausweg
verfallen um den "Wechselsatz" (1) der Statistik und den Energiesatz
zu retten. Nämlich die Möglichkeit, es könnten elektrisch neutrale
Teilchen, die ich Neutronen nennen will, in den Kernen existieren,
welche den Spin 1/2 haben und das Ausschliessungsprinzip befolgen und
sich von Lichtquanten ausserdem noch dadurch unterscheiden, dass sie
nicht mit Lichtgeschwindigkeit laufen. Die Masse der Neutronen
müsste von derselben Grössenordnung wie die Elektronenmasse sein und
Jedemfalls nicht grösser als 0,01 Protonenmasse.- Das kontinuierliche
beta-Spektrum wäre dann verständlich unter der Annahme, dass beim
beta-Zerfall mit dem Elektron jeweils noch ein Neutron emittiert
wird, derart, dass die Summe der Energien von Neutron und Elektron
konstant ist.

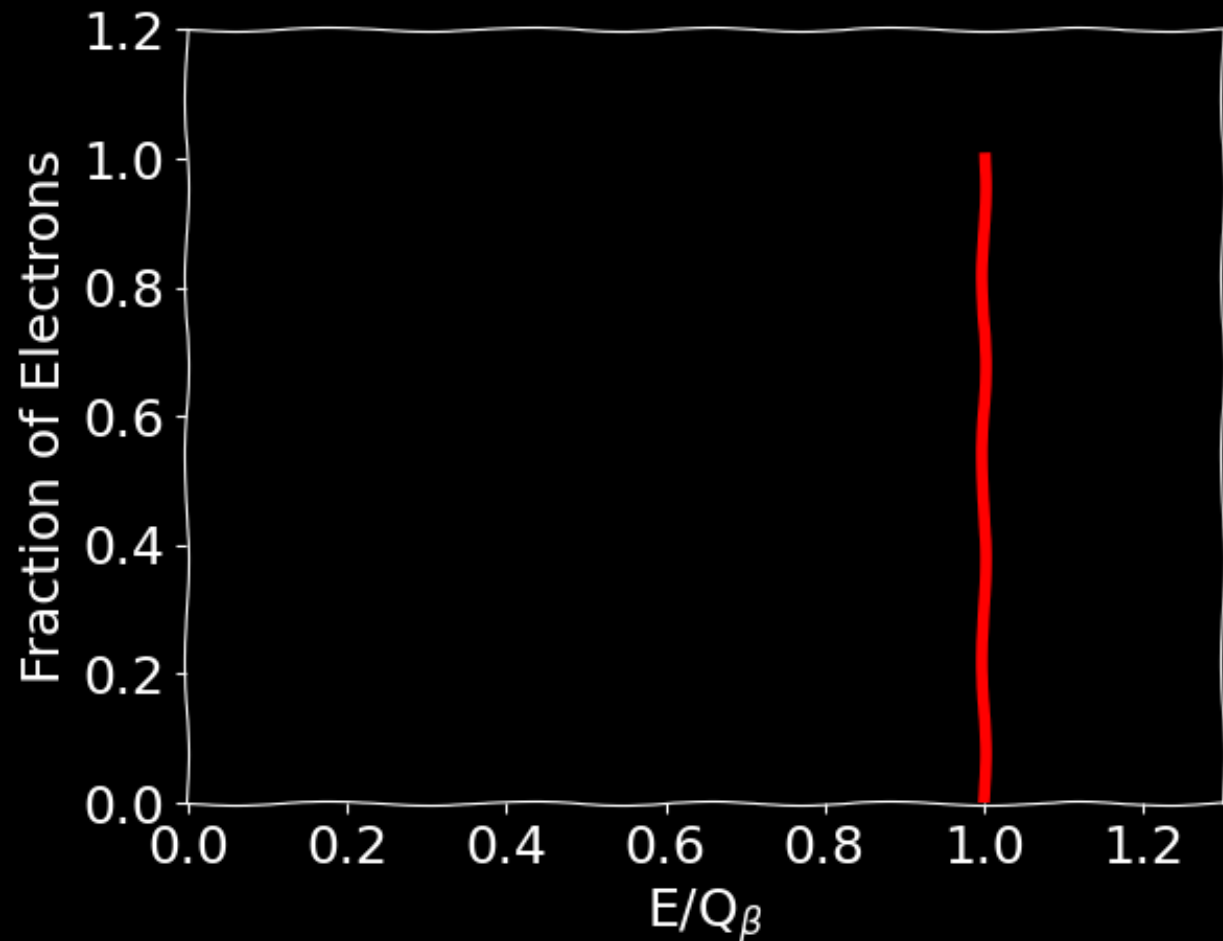
Nun handelt es sich weiter darum, welche Kräfte auf die
Neutronen wirken. Das wahrscheinlichste Modell für das Neutron scheint
mir aus wellenmechanischen Gründen (näheres weiss der Ueberbringer
dieser Zeilen) dieses zu sein, dass das ruhende Neutron ein
magnetischer Dipol von einem gewissen Moment μ ist. Die Experimente
verlängen wohl, dass die ionisierende Wirkung eines solchen Neutrons
nicht grösser sein kann, als die eines gamma-Strahls und darf dann
 μ wohl nicht grösser sein als $e \cdot (10^{-13} \text{ cm})$.

Ich traue mich vorläufig aber nicht, etwas über diese Idee
zu publizieren und wende mich erst vertrauensvoll an Euch, liebe
Radioaktive, mit der Frage, wie es um den experimentellen Nachweis
eines solchen Neutrons stände, wenn dieses ein ebensolches oder etwa
10mal grösseres Durchdringungsvermögen besitzen würde, wie ein
gamma-Strahl.

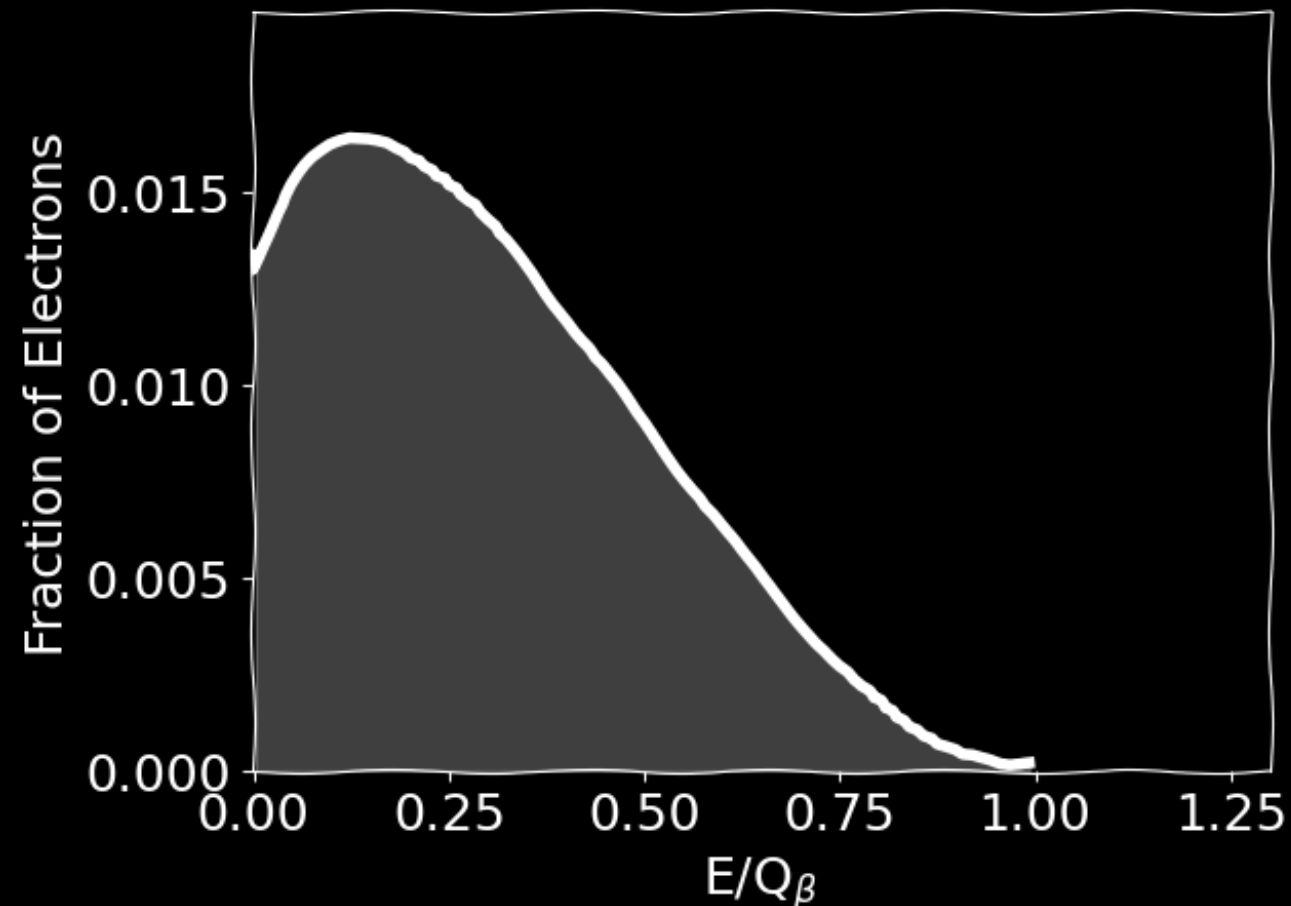
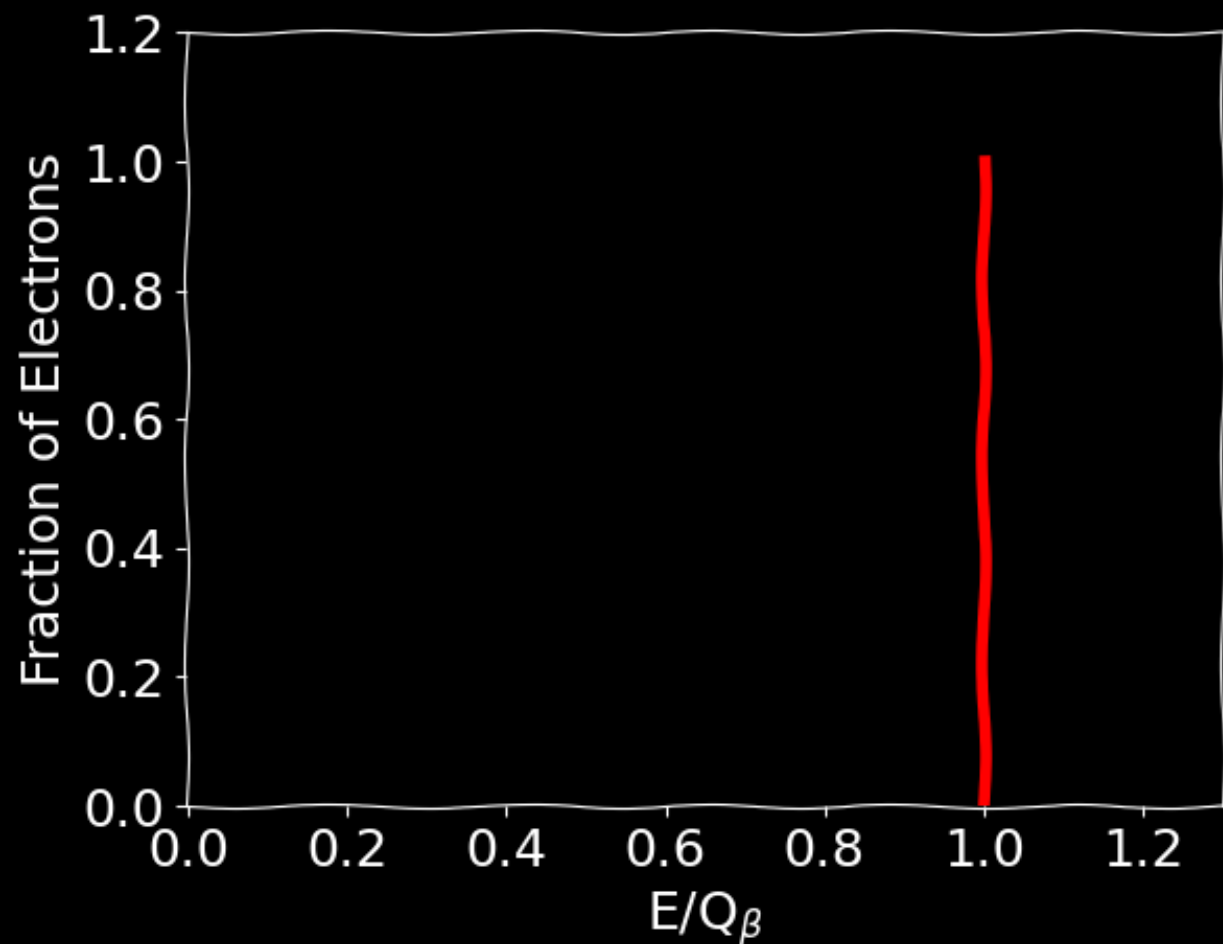
Ich gebe zu, dass mein Ausweg vielleicht von vornherein
wenig wahrscheinlich erscheinen wird, weil man die Neutronen, wenn
sie existieren, wohl schon längst gesehen hätte. Aber nur wer wagt,
ganzheit und der Ernst der Situation beim kontinuierliche beta-Spektrum
wird durch einen Ausspruch meines verehrten Vorgängers im Amt,
Herrn Debye, beleuchtet, der mir kürzlich in Brüssel gesagt hat:
"O, daran soll man am besten gar nicht denken, sowie an die neuen
Steuern." Darum soll man jeden Weg zur Rettung ernstlich diskutieren.-
Also, liebe Radioaktive, prüfet, und richtet.- Leider kann ich nicht
persönlich in Tübingen erscheinen, da ich infolge eines in der Nacht
vom 6. zum 7. Dez. in Zürich stattfindenden Balles hier unakademisch
bin.- Mit vielen Grüssen an Euch, sowie an Herrn Bask, Euer
untertänigster Diener

ges. W. Pauli

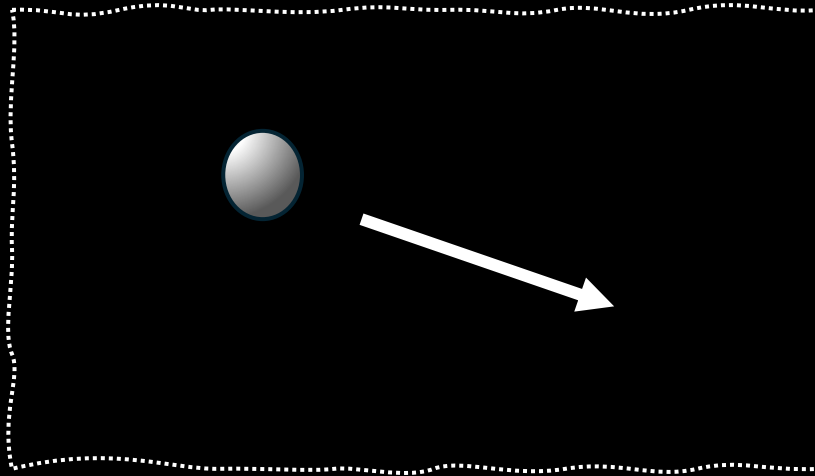
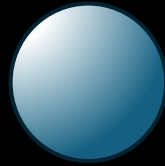
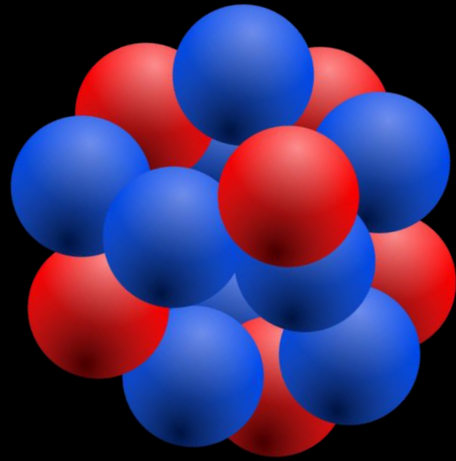
Expected Mono-energetic Electrons



Found a Continuum!



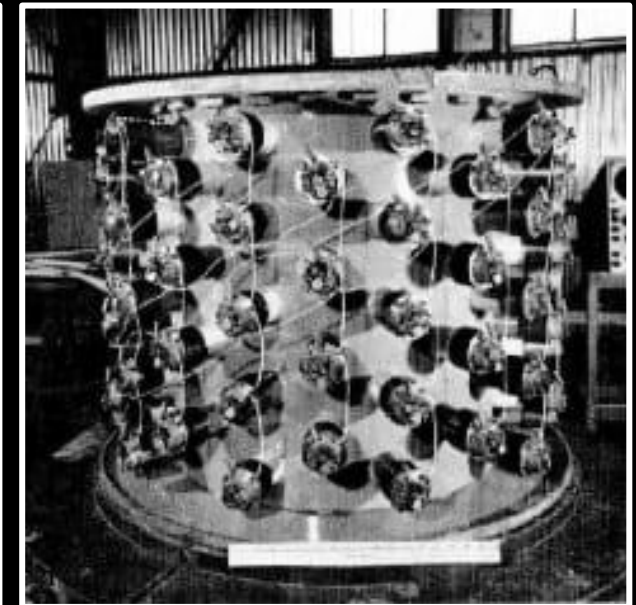
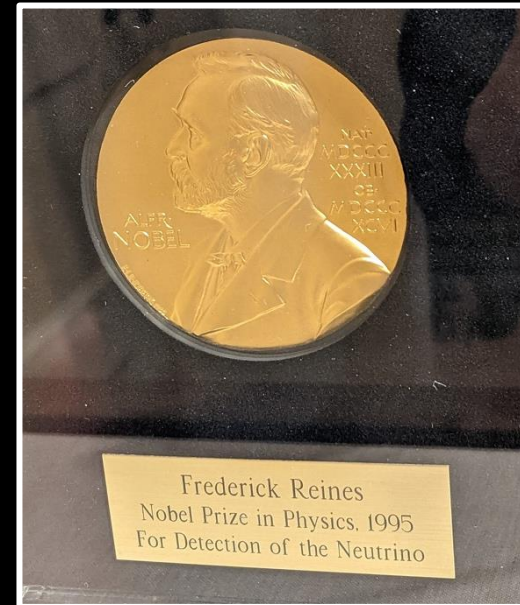
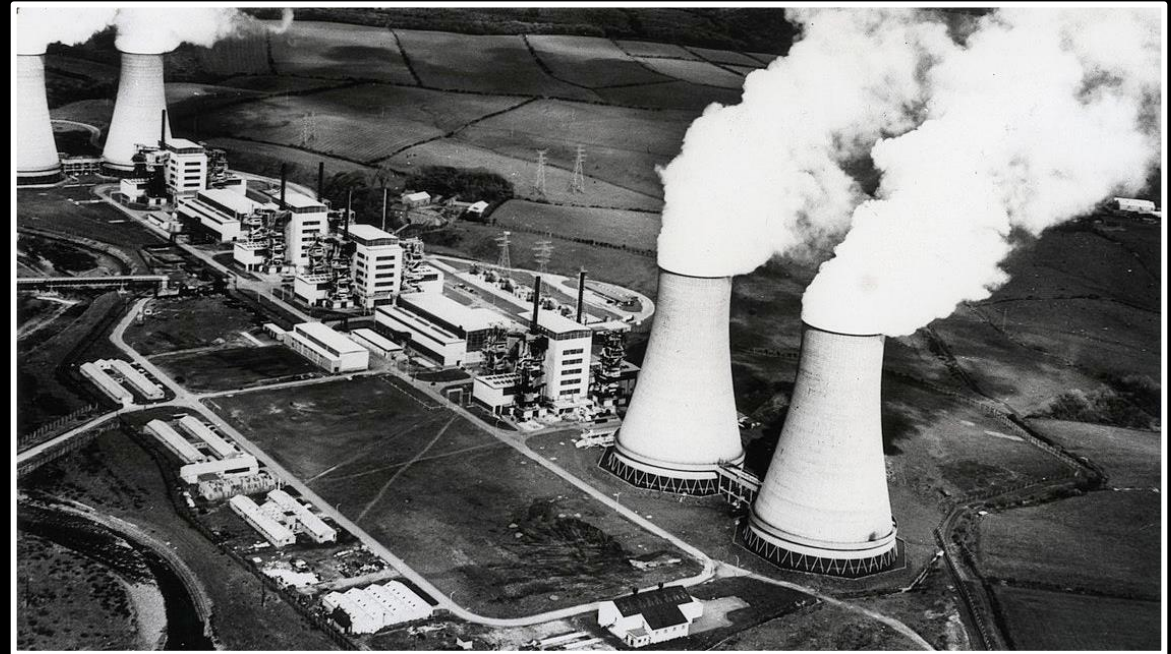
Implies the Existence of a Neutrino



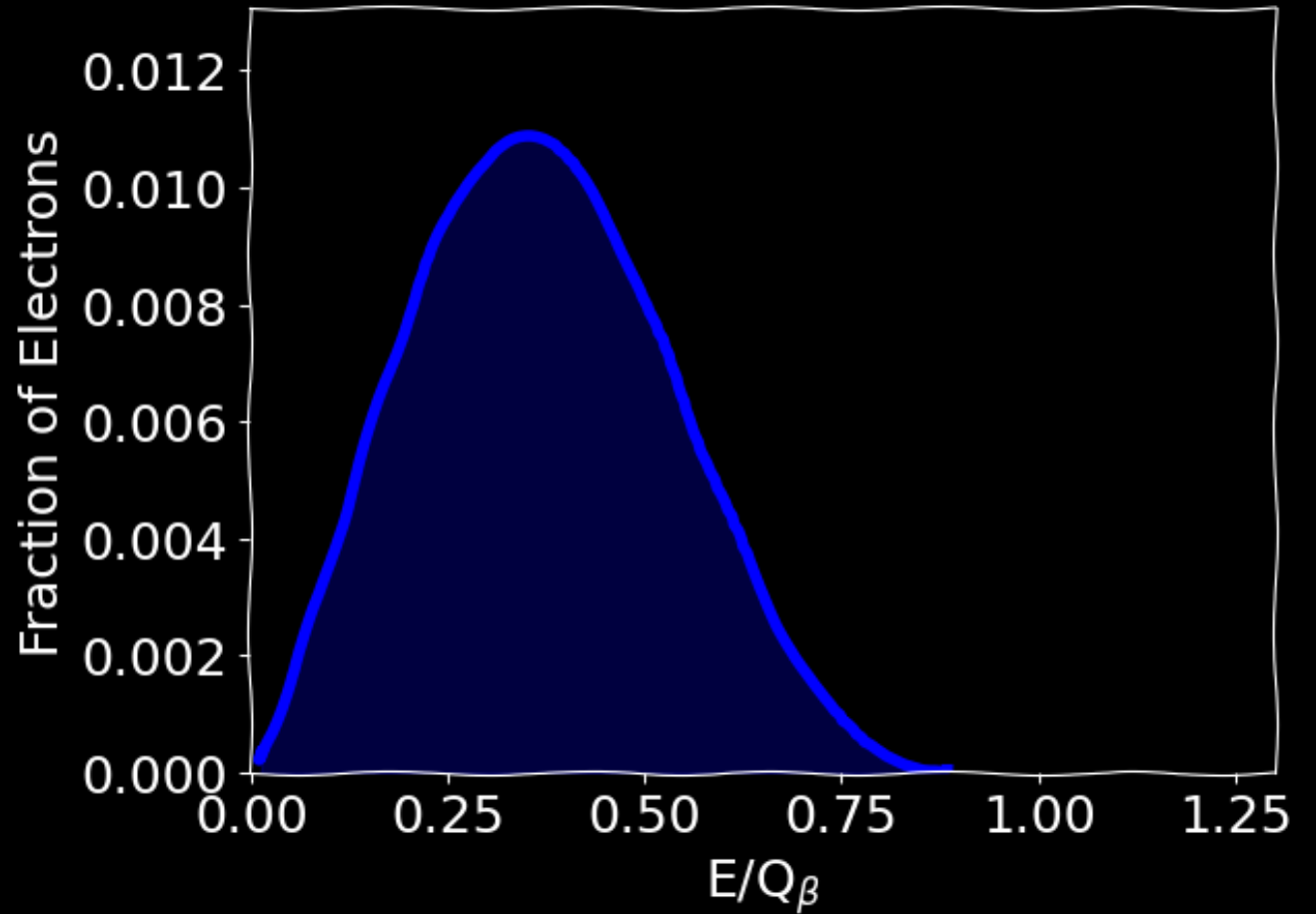
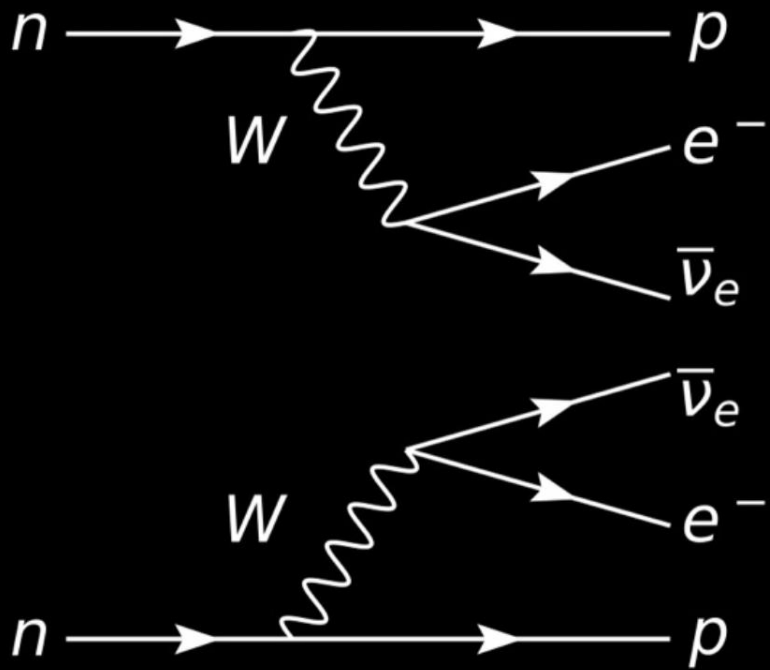
A Neutrino!

Neutrinos Discovered

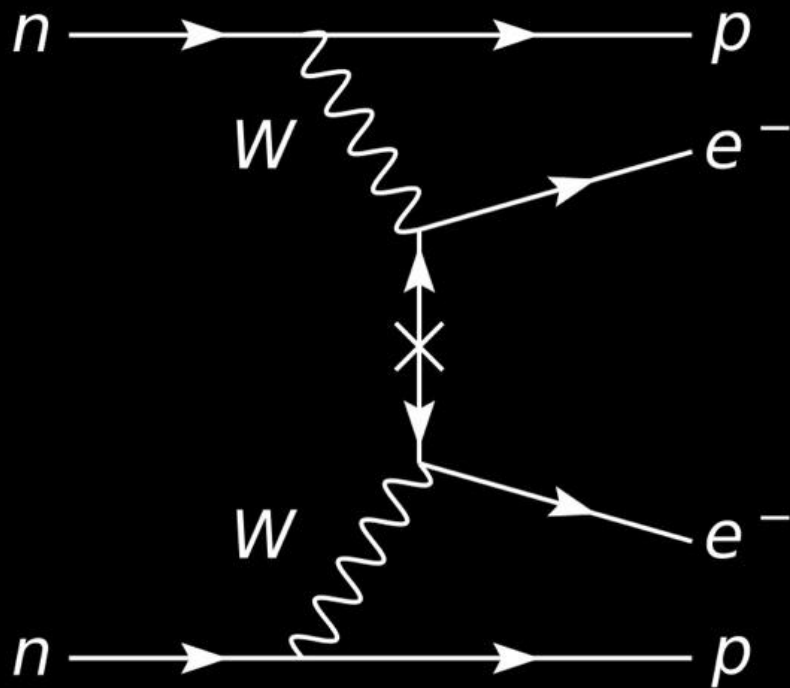
Neutrino discovered at a nuclear reactor at Savannah River by Reines and Cowan in 1957



Two Neutrino Beta Decay



Neutrino-less Double Beta Decay ($0\nu\beta\beta$)



Required the violation of lepton number conservation

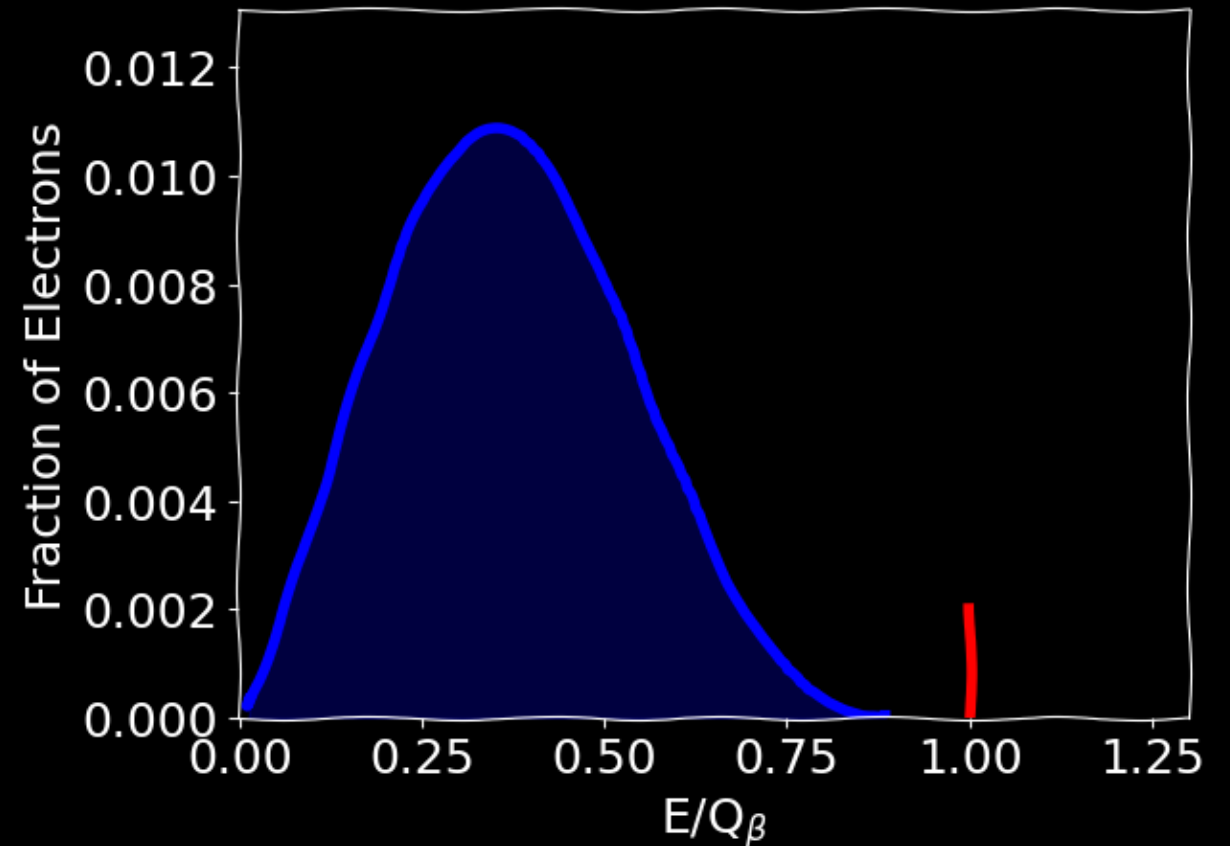
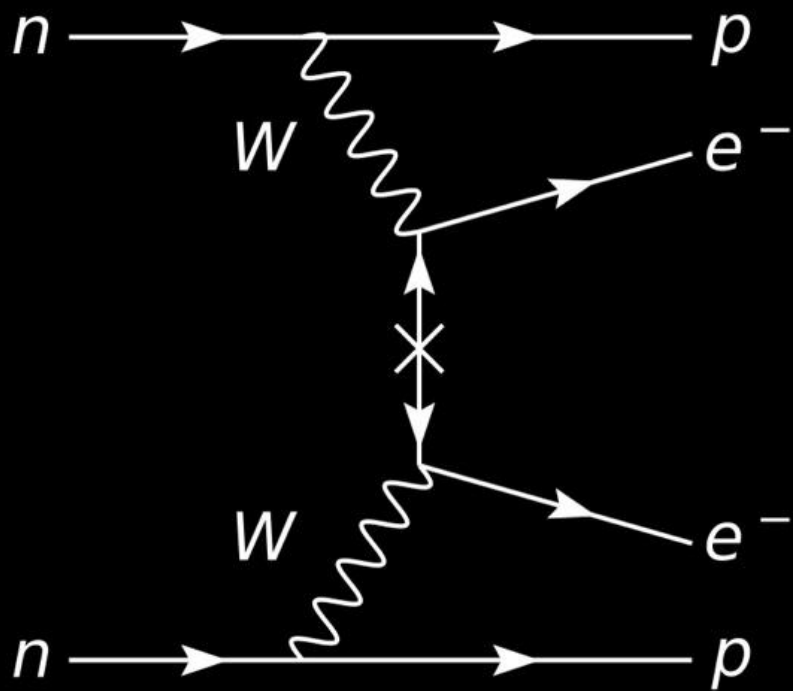
Second order weak transition

Beyond the Standard Model process

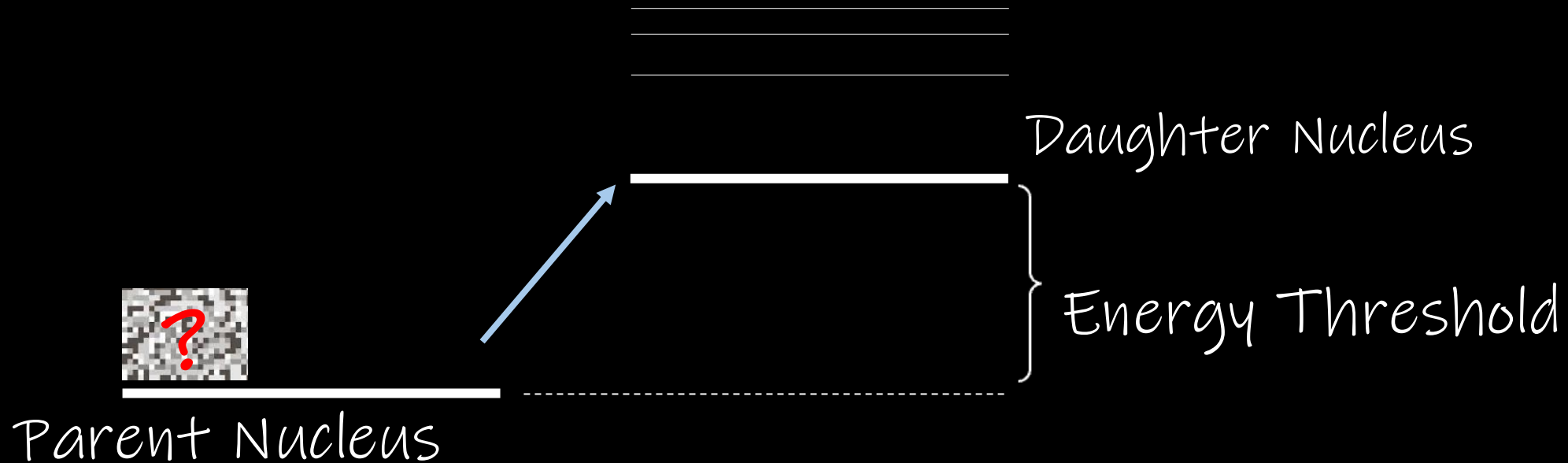
Ultra rare

Can only happen if neutrinos are Majorana

Neutrino-less Double Beta Decay ($0\nu\beta\beta$)



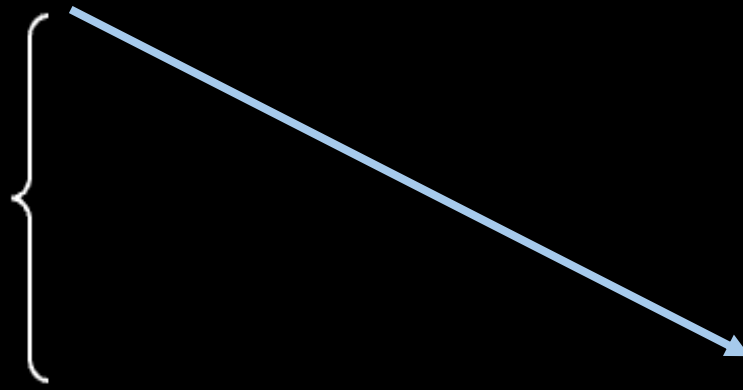
Isotope Selection



Isotope Selection

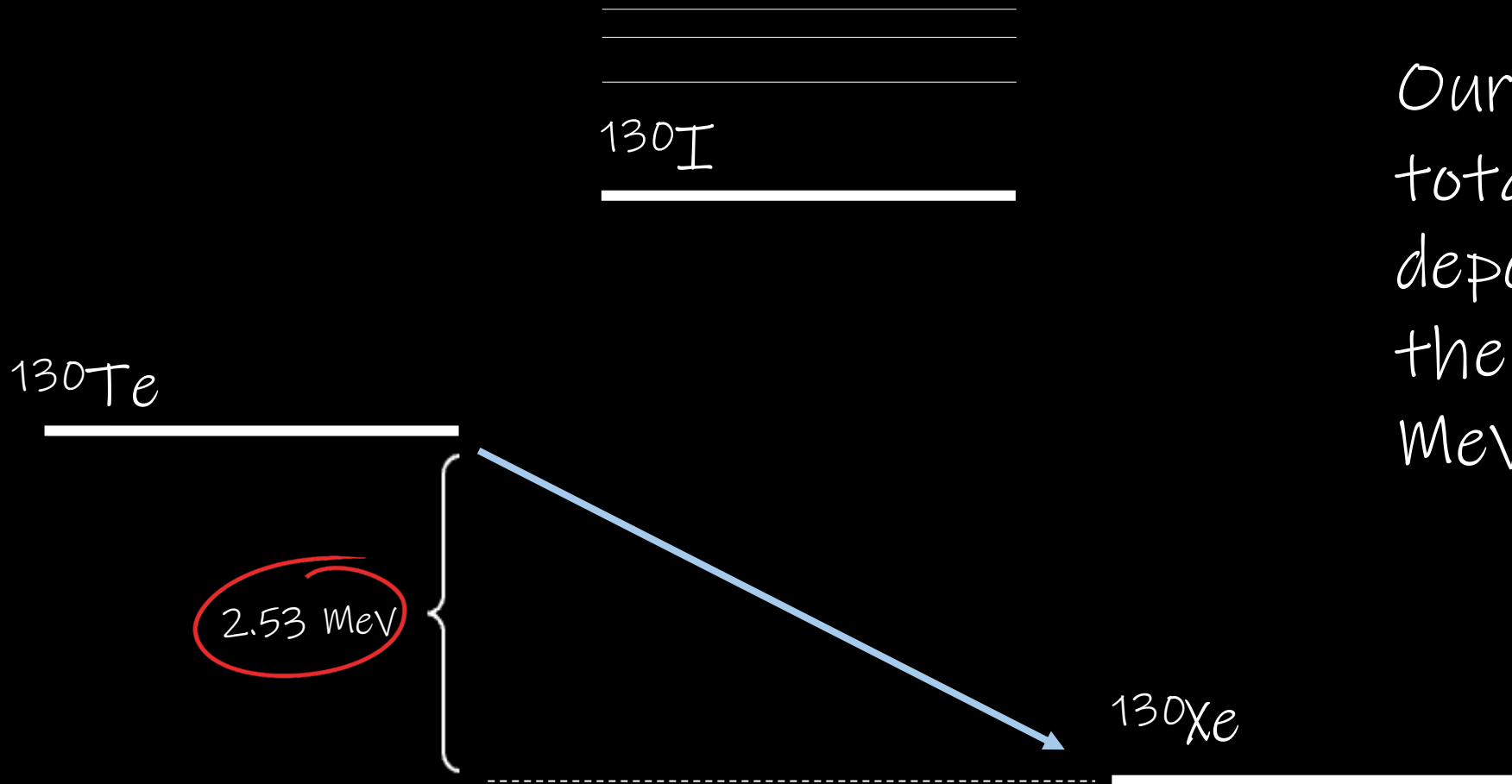


Parent Nucleus



Daughter Nucleus

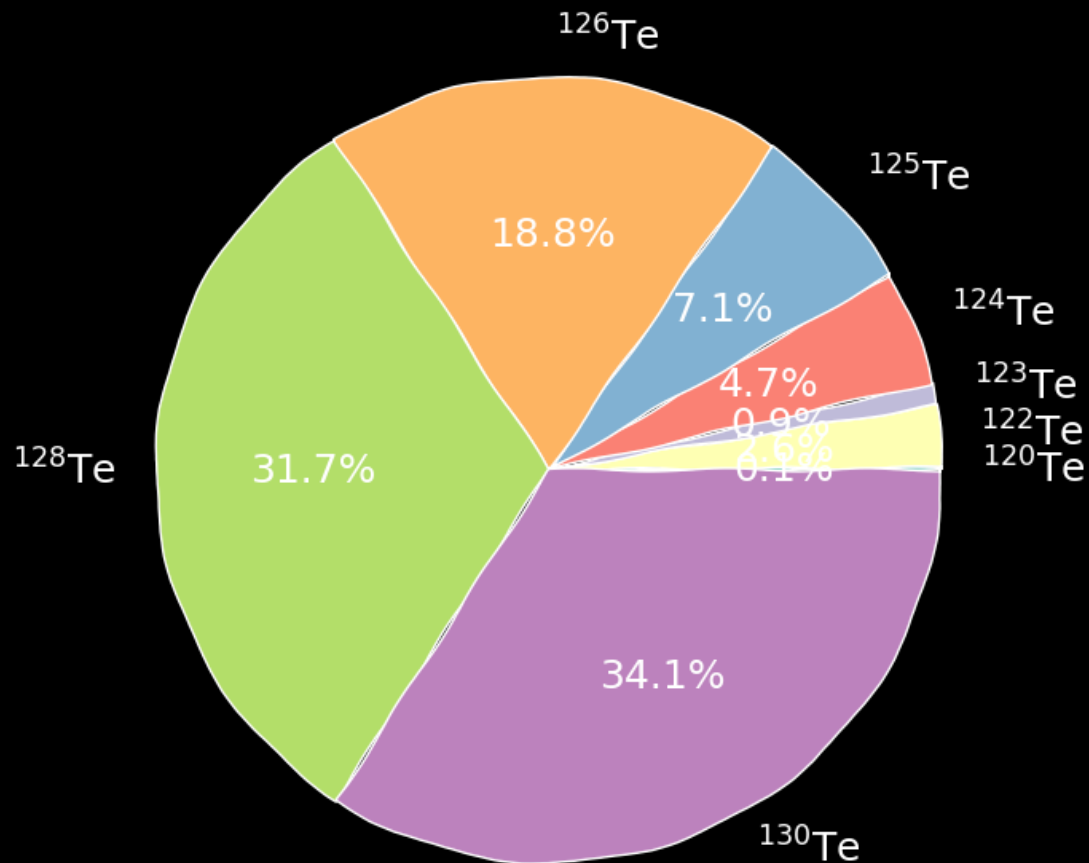
Isotope Selection



Our signal is a total energy deposition around the Q-value, 2.53 MeV

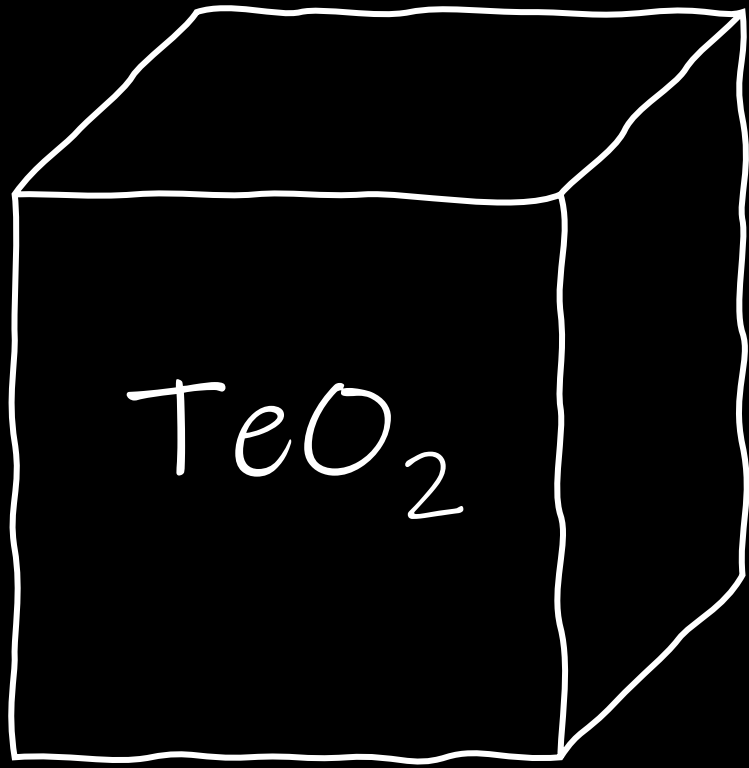
The Detector: Tellurium

Natural Abundances of Tellurium Isotopes



34.1% of natural Te is the 130 isotope

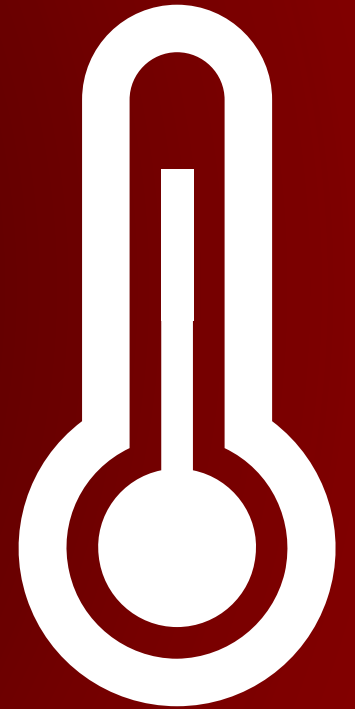
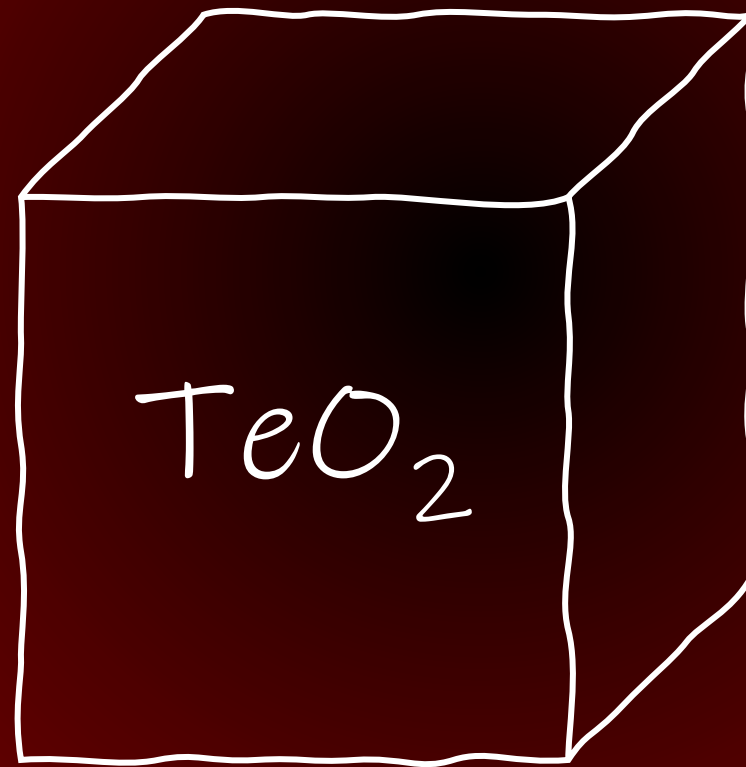
Source = Detector



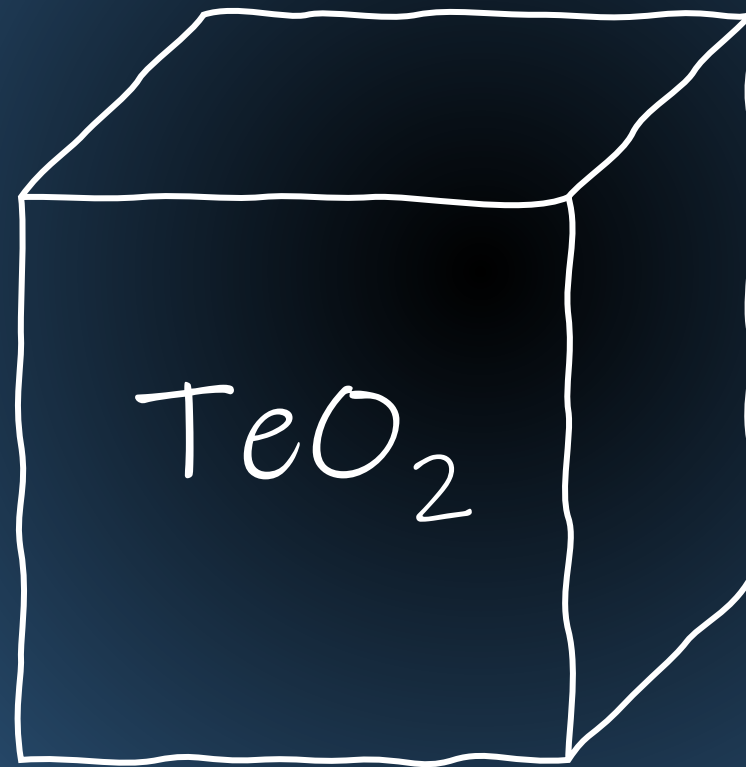
A bulk material is well poised for high exposures needed
Of this search

How how to “detector-ize” the crystal?

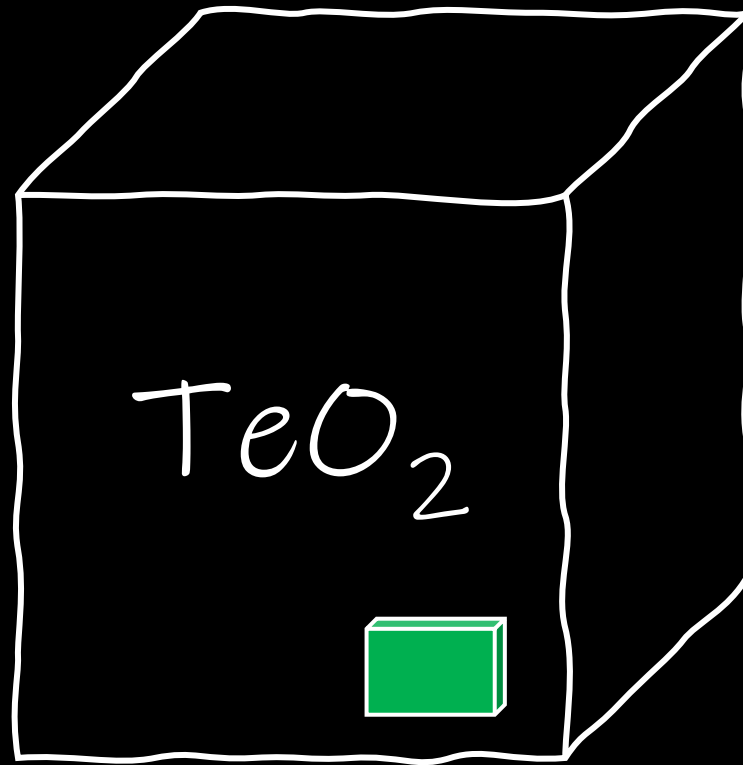
Make a Bolometer



Make a Bolometer
~ 10 mK

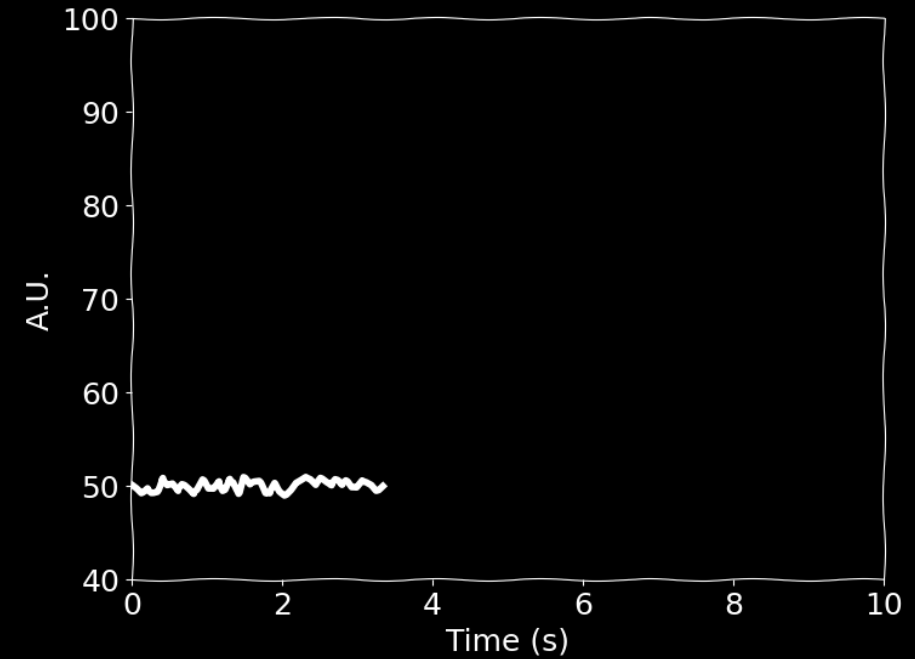
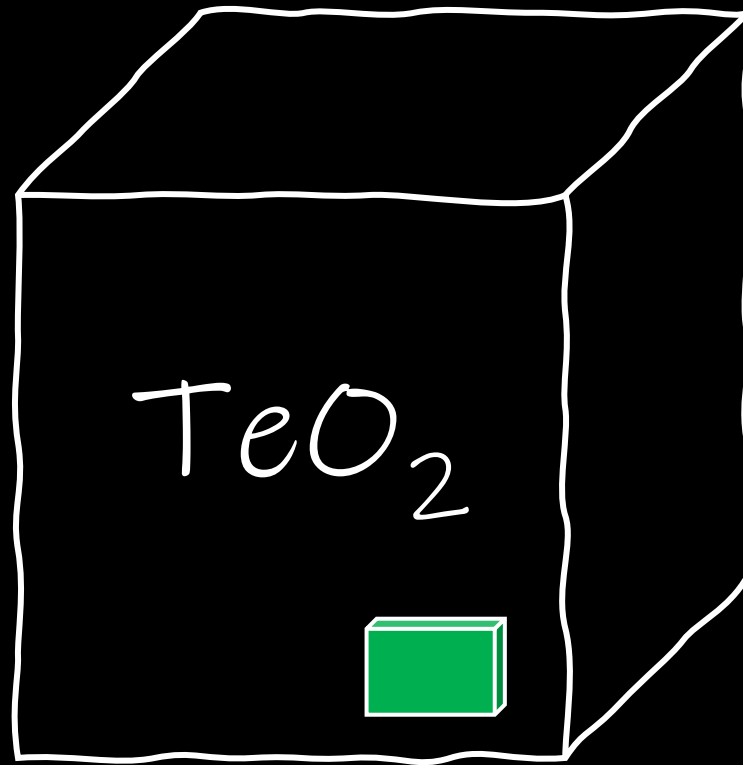


Make a Bolometer
~ 10 mK



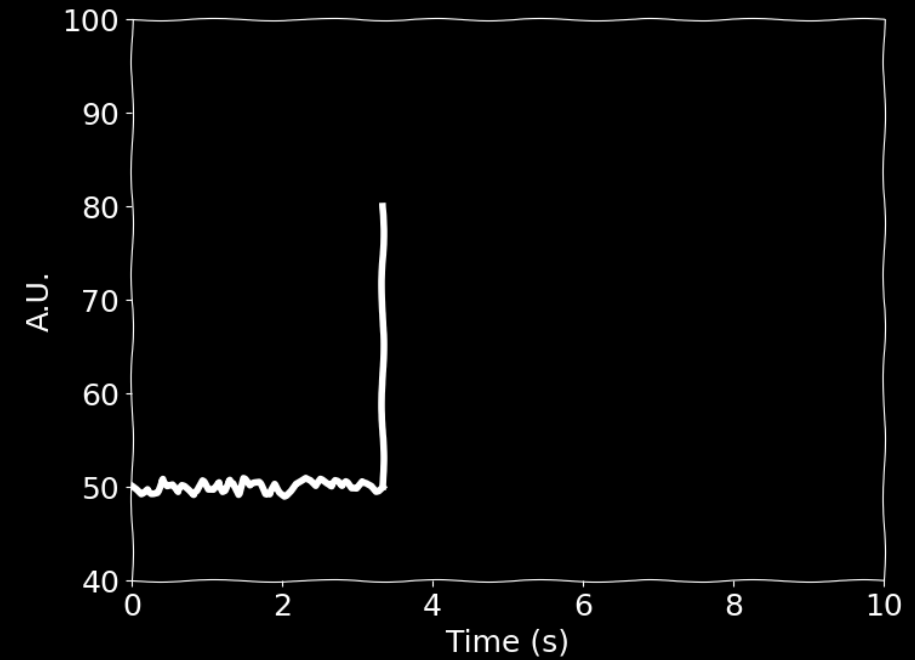
NTD-Ge Thermistor

Make a Bolometer
~ 10 mK



NTD-Ge Thermistor

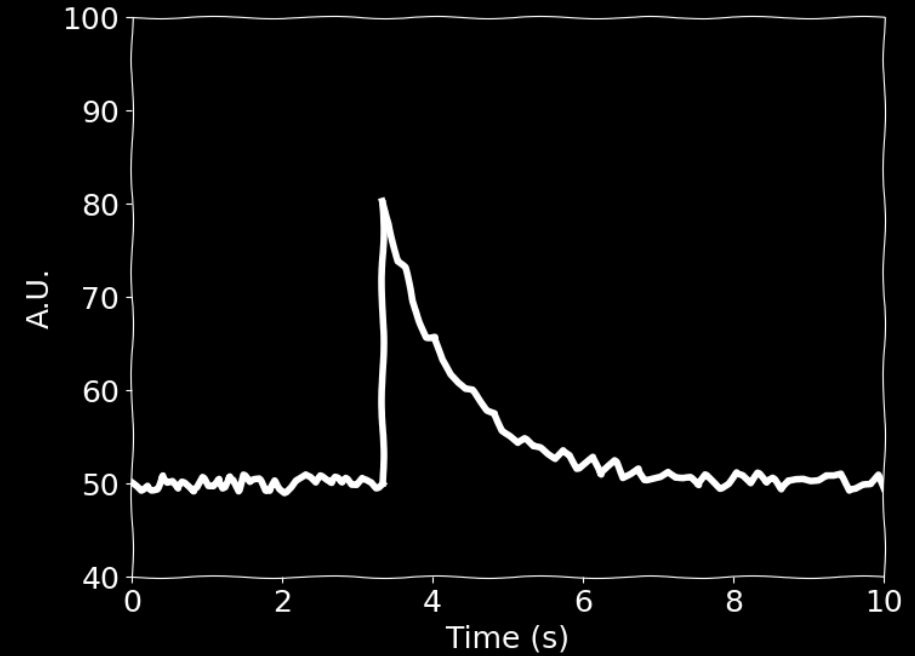
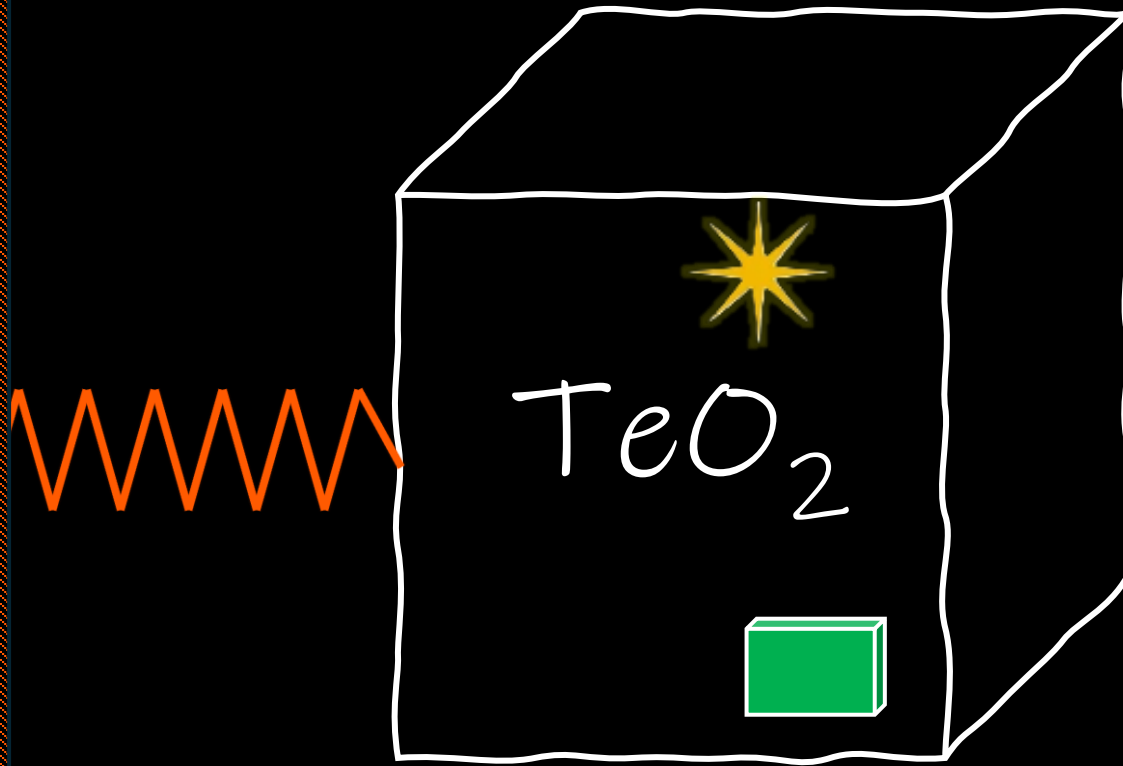
Make a Bolometer
~ 10 mK



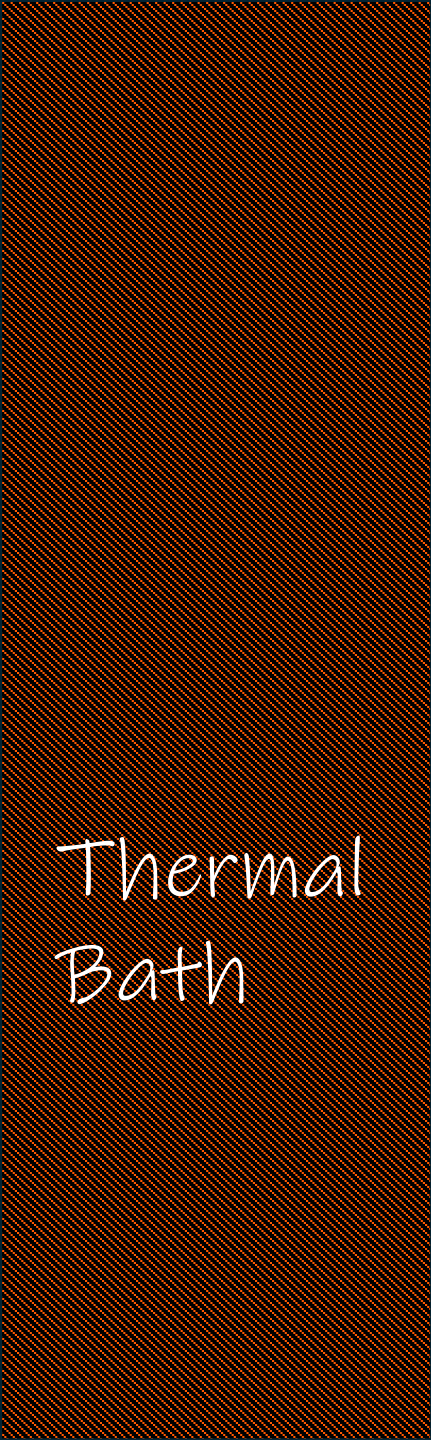
NTD-Ge Thermistor

Make a Bolometer

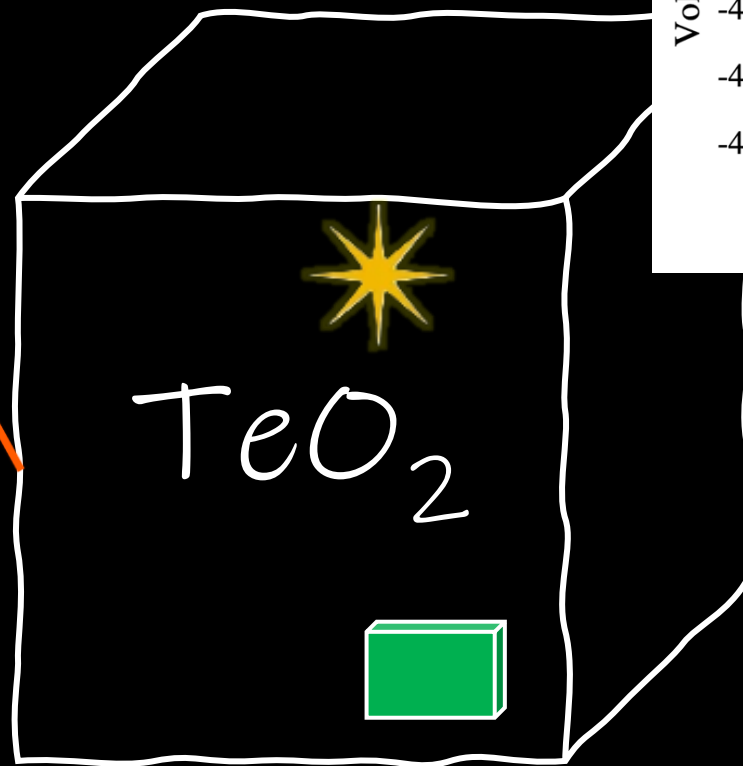
Thermal
Bath



NTD-Ge Thermistor

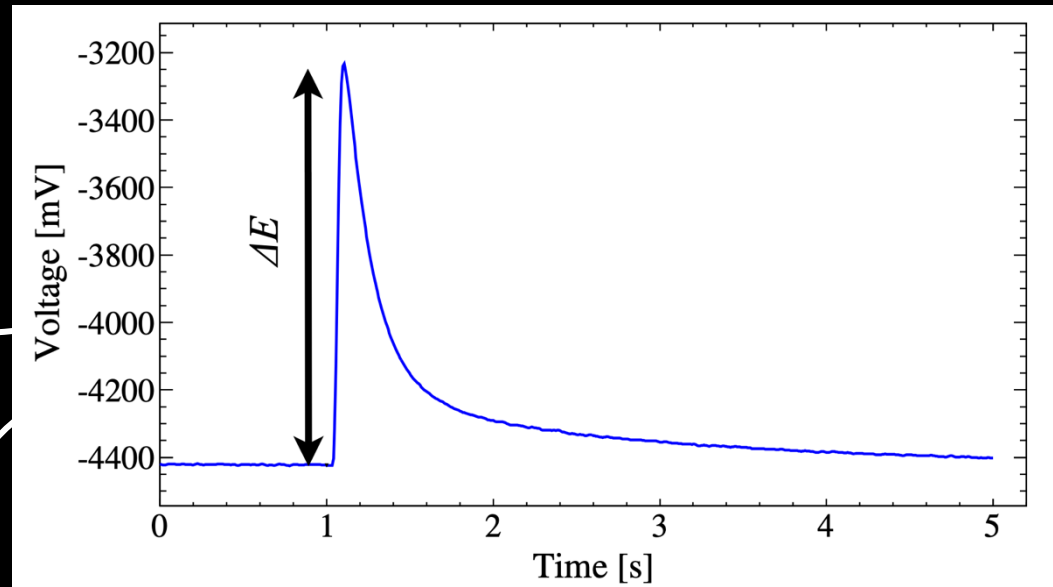


Thermal
Bath

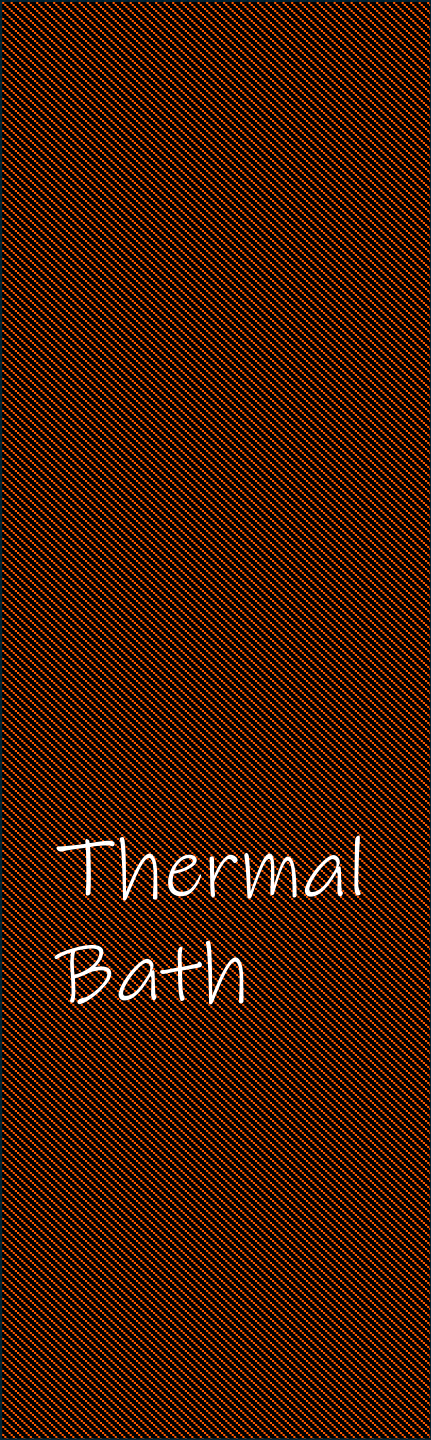


TeO₂

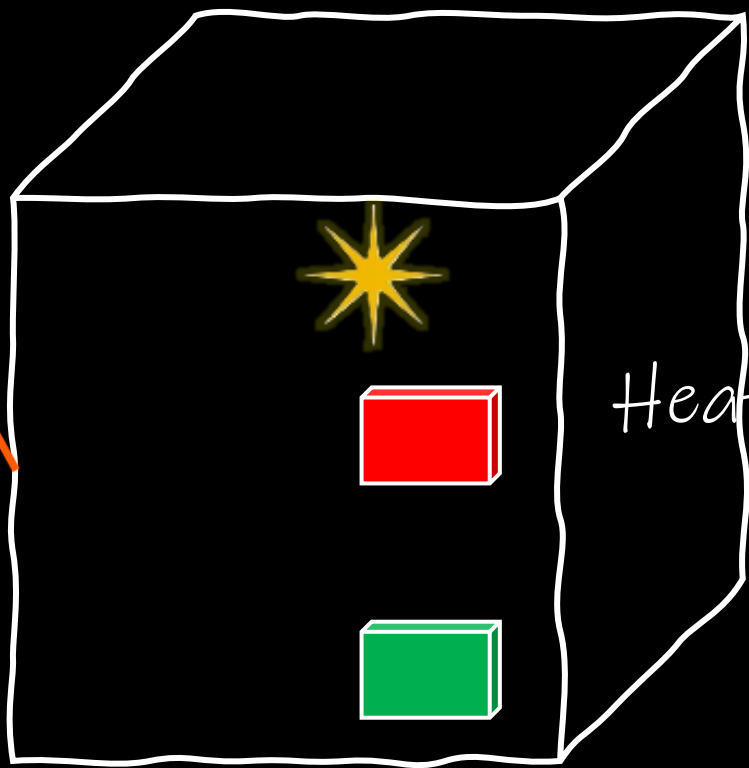
NTD-Ge Thermistor



$\Delta T \sim 10-20 \mu\text{K}/\text{MeV}$



Thermal
Bath



Heater

NTD-Ge Thermistor

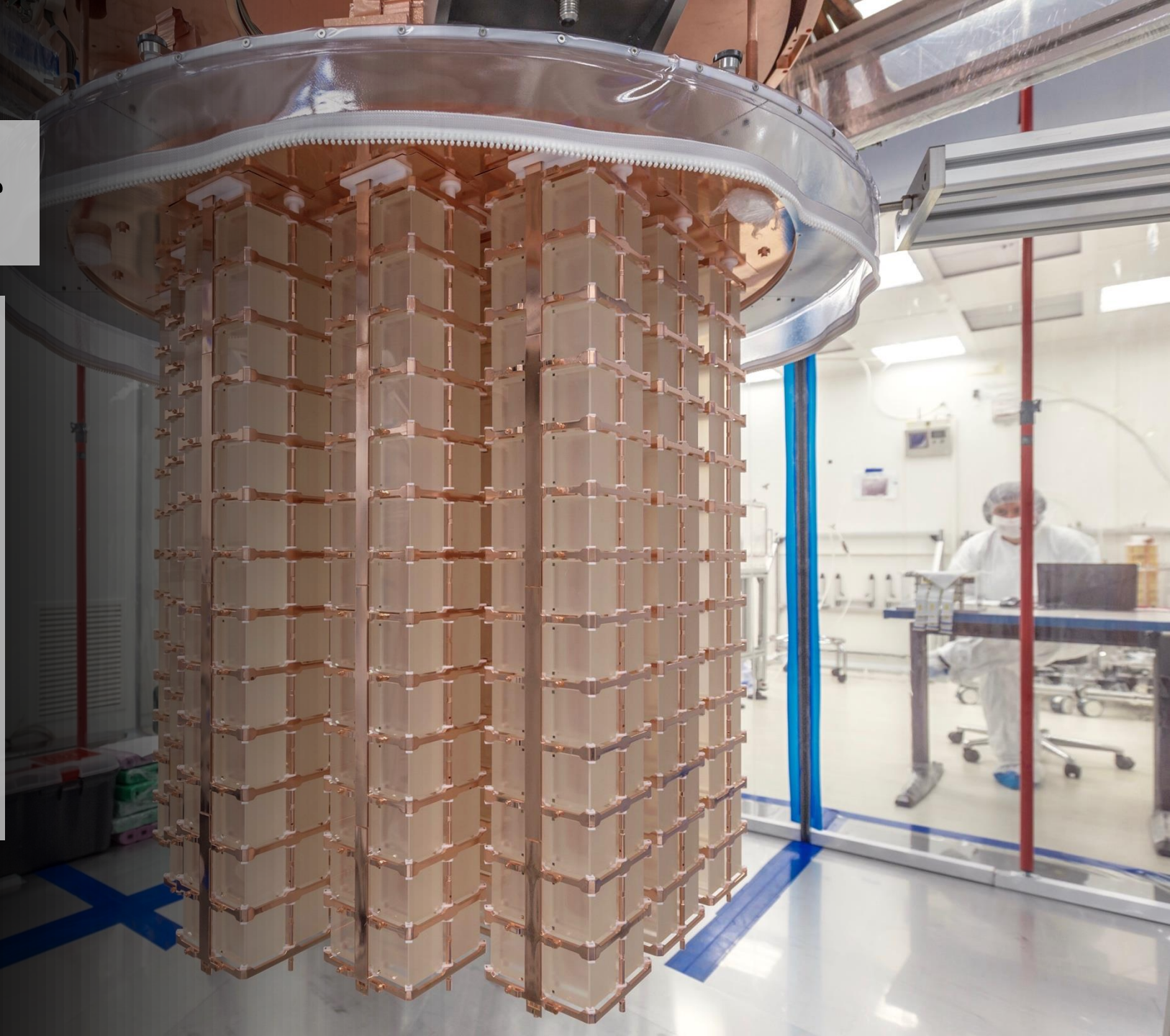
CUORE

Cryogenic Underground Observatory
for Rare Events

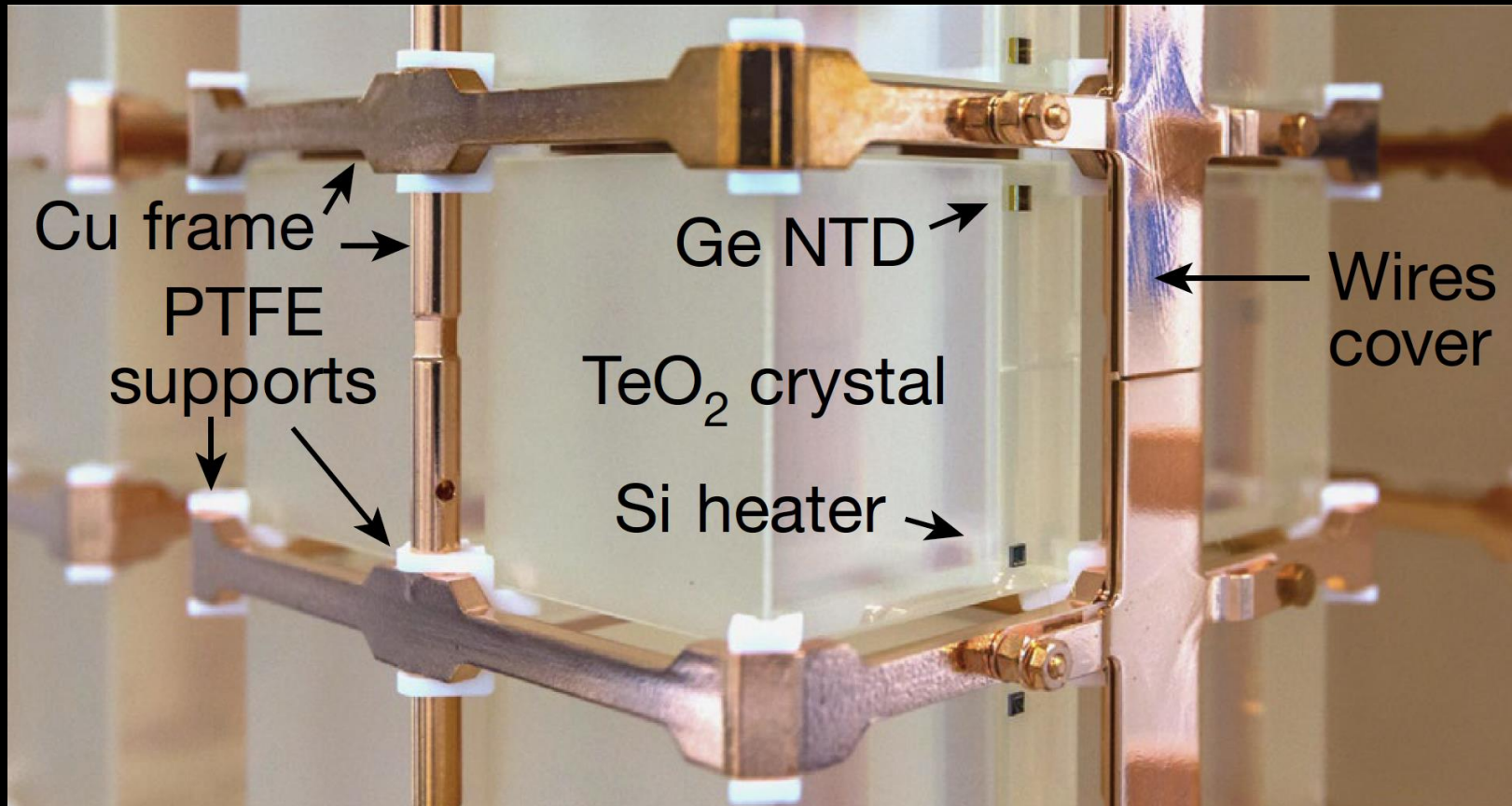


CUORE Detector

- Cryogenic Underground Observatory for Rare Events
- Composed of 988 TeO_2 crystals organized in 19 towers
- 742 kg TeO_2 , 206 kg ^{130}Te
- Q-value of 2527.5 keV



CUORE Crystal Configuration



TeO₂ crystal

Detector/absorber

750 grams

$\Delta T \sim 100 \mu\text{K}/\text{MeV}$

$\tau \sim 1$ second

Weak thermal links to the PTFE supports

Copper Frame

~ 10 mK heat sink

Ge NTD sensor

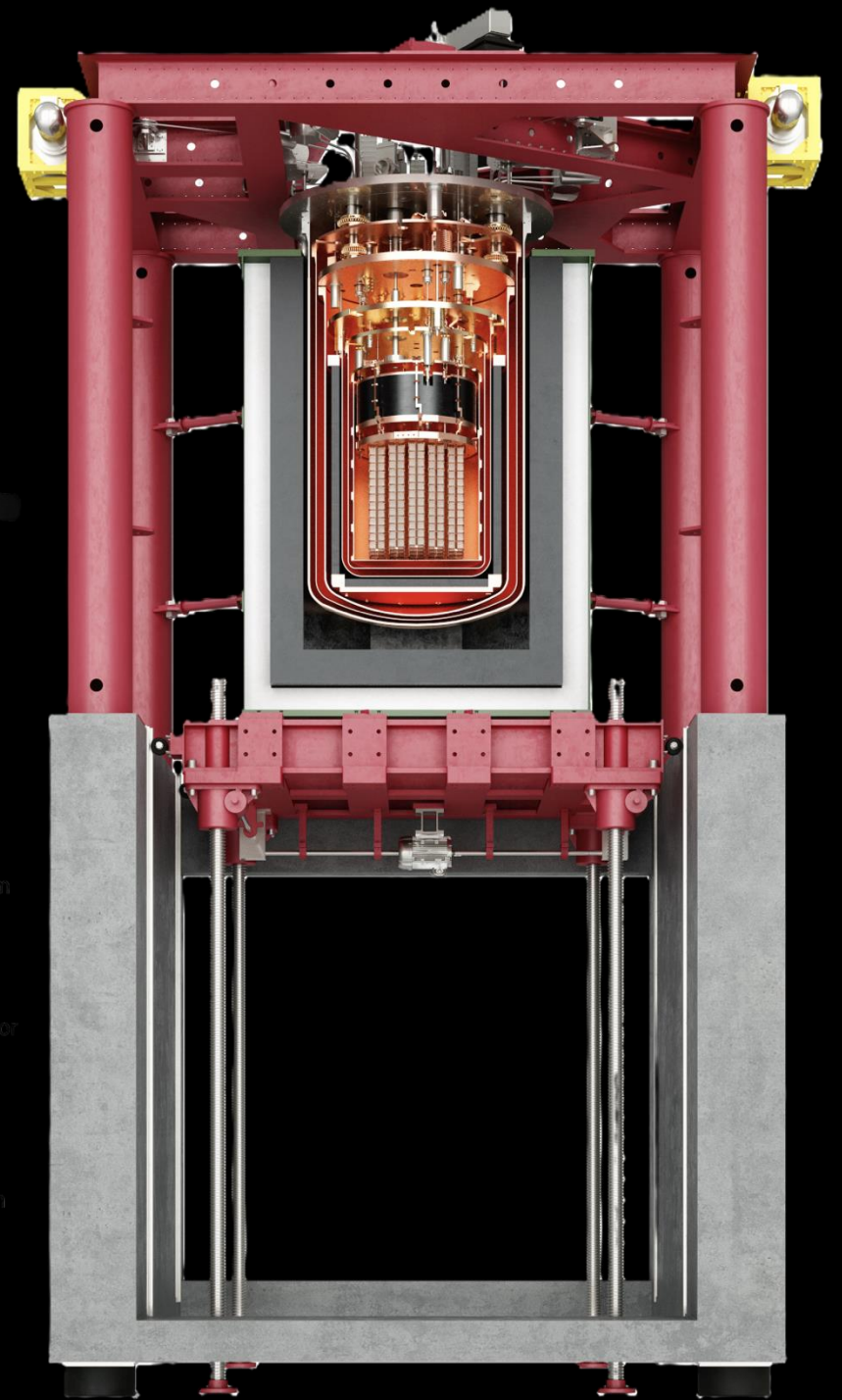
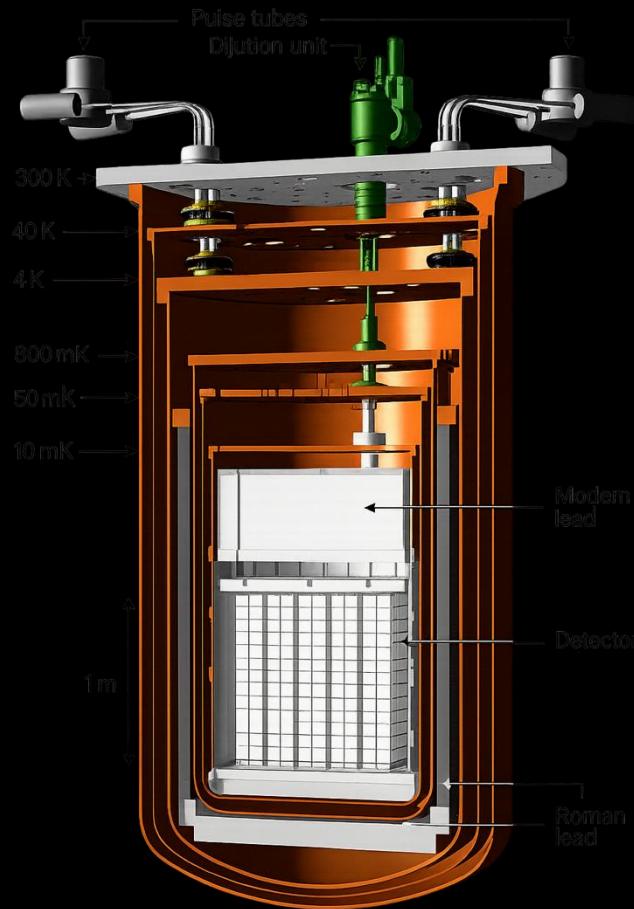
Si Joule Heater

Inject reference pulses for stabilization of baseline temperature

Gold wires providing electrical connection from sensors

Detector Infrastructure

- Large cryostat
- Pulse Tube cooled
- Vibration Damping System



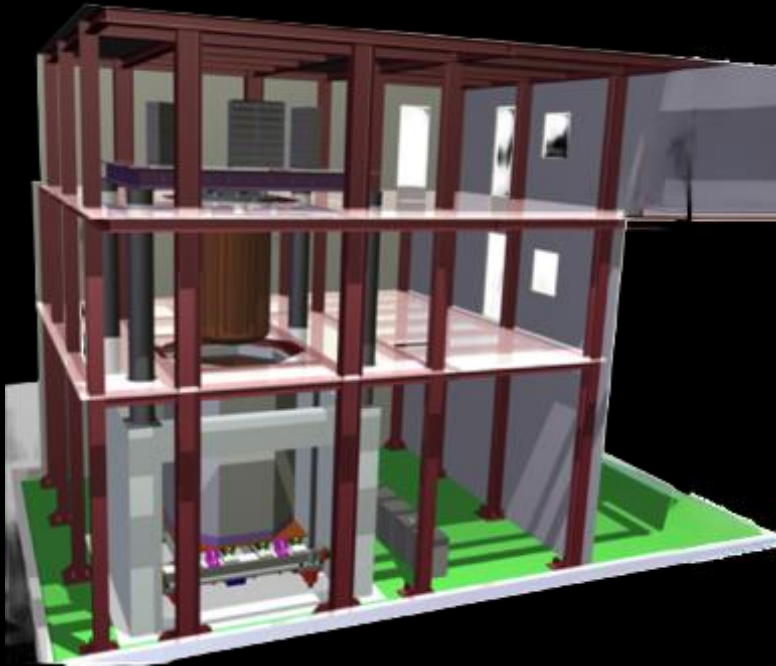
Shielding

- 18 cm of polyethylene
- 2 cm of Borated Poly
- >35 cm modern lead shielding
- Copper cryostat vessels
- Internal ancient lead



CUORE @ Gran Sasso

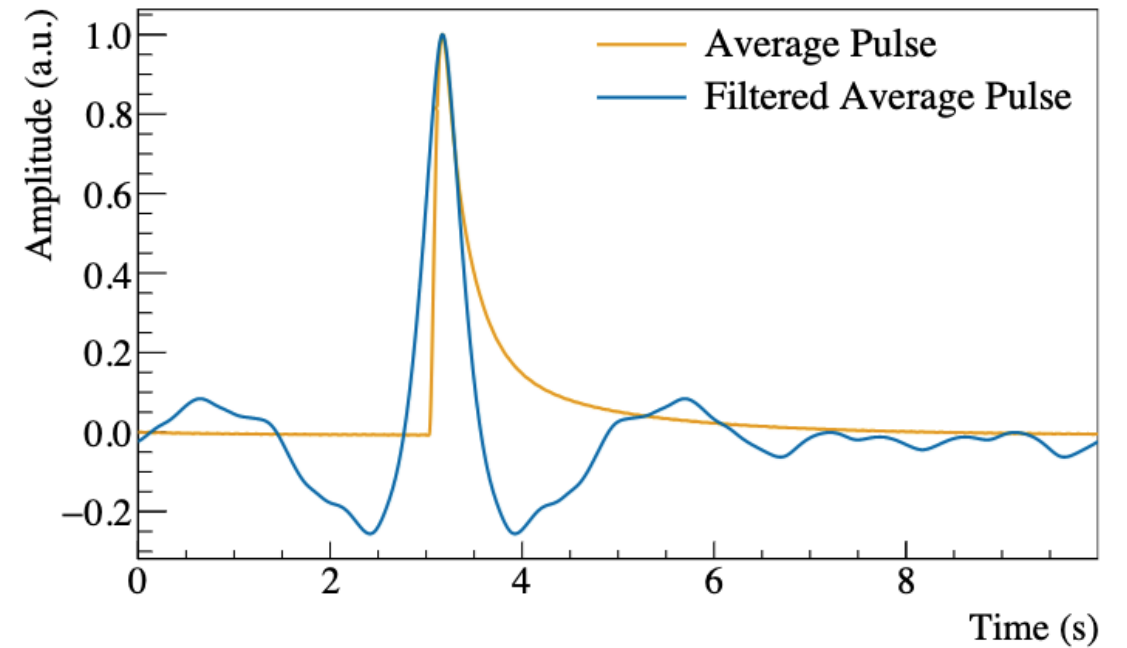
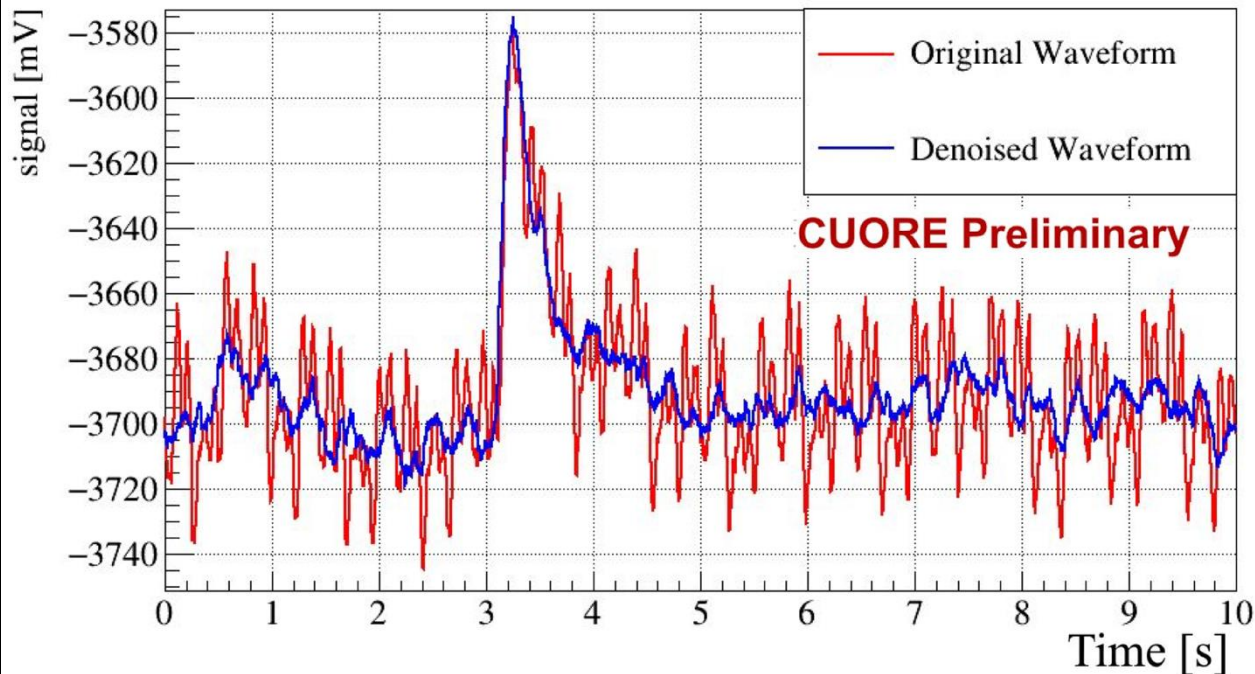
- Under $\sim 3,600$ m.w.e rock overburden
- 6 orders of magnitude reduction in muon flux
- Muons: 3×10^{-8} /sec/cm²
- Neutrons: 4×10^{-6} /sec/cm² (below 10 MeV)
- Design background goal: 10^{-2} ckkyr



Analysis: Noise Reduction & Filtering

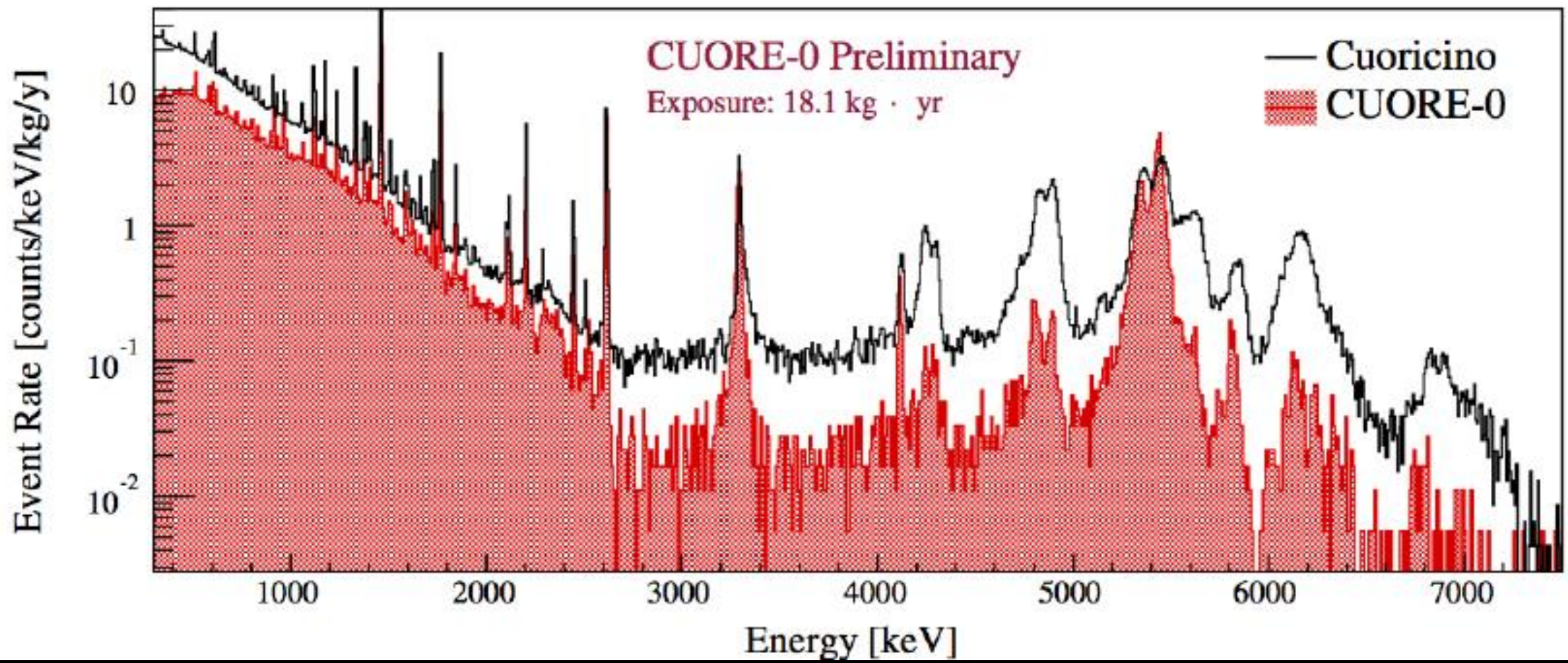
Denoising using auxiliary devices
(microphones, seismometers,
accelerometers)

Optimal Filter



CUORE-0 Preliminary
Exposure: 18.1 kg · yr

— Cuoricino
▨ CUORE-0



Experimental Sensitivity

$$T^{0\nu} \propto \sqrt{\frac{M \cdot t}{B \cdot E}}$$

$M \cdot T$

Large Exposure

B

Low Background
in ROI

E

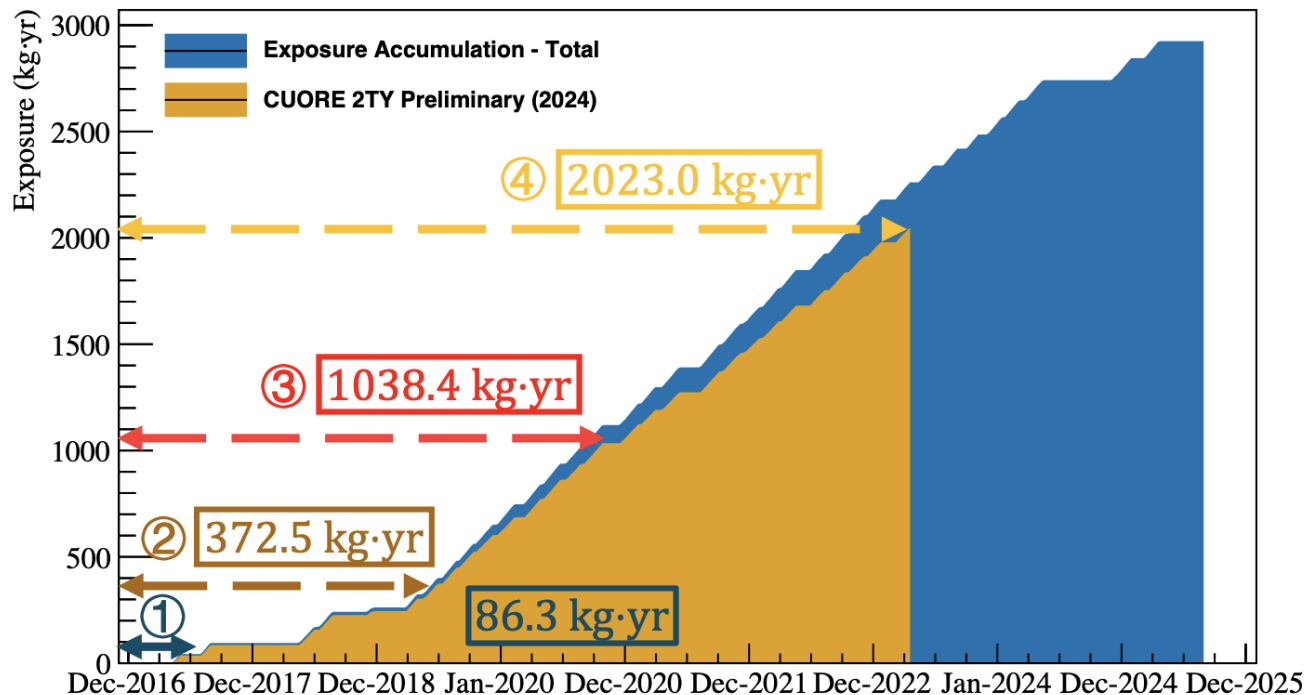
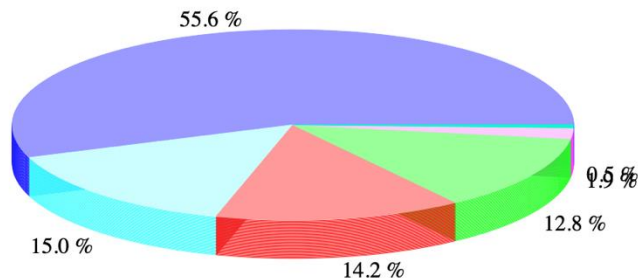
High Energy
Resolution

Exposure

Stable data collection since 2019, with $\geq 85\%$ uptime

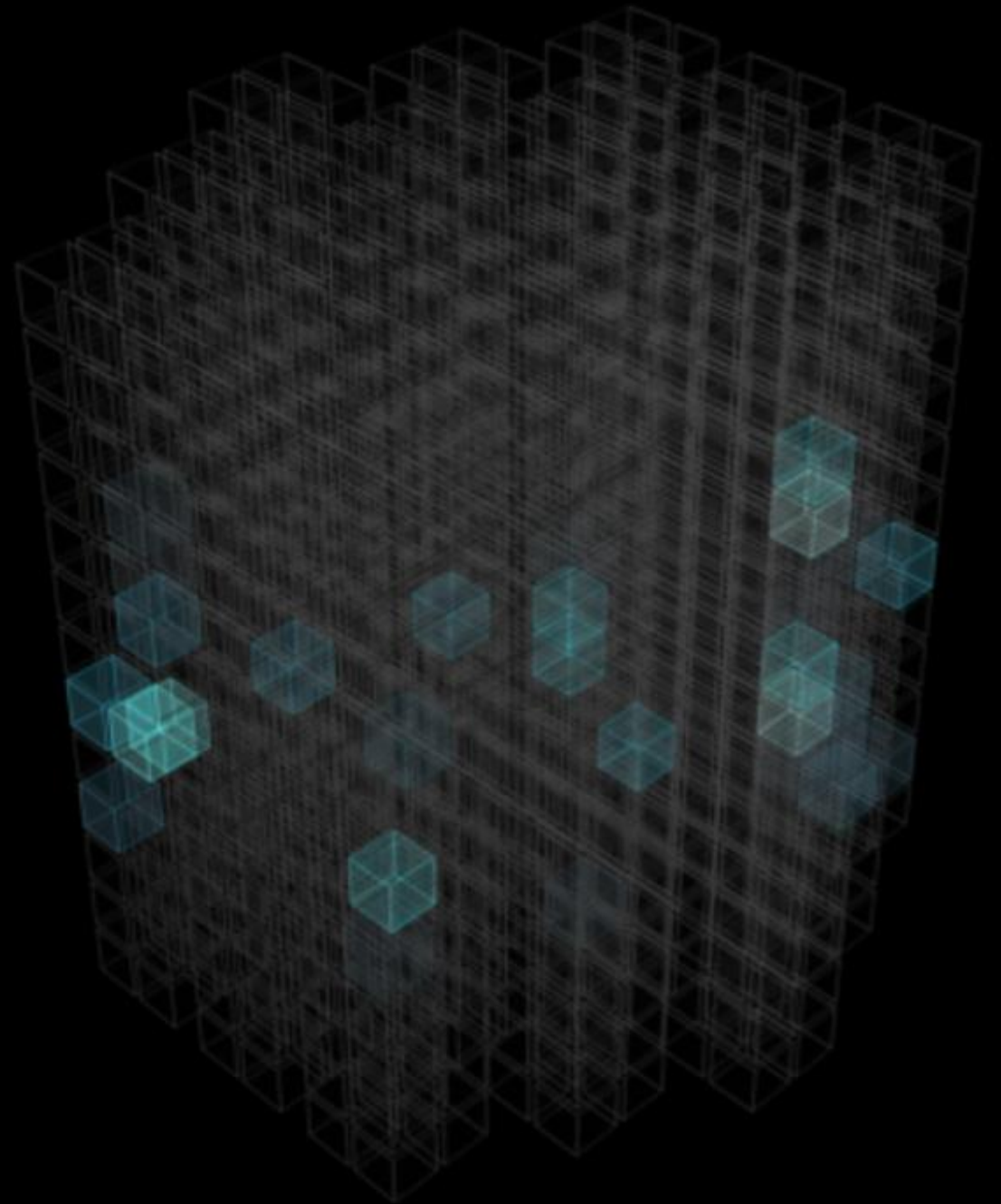
Data collection to continue into the summer of 2026

Run Time Breakdown

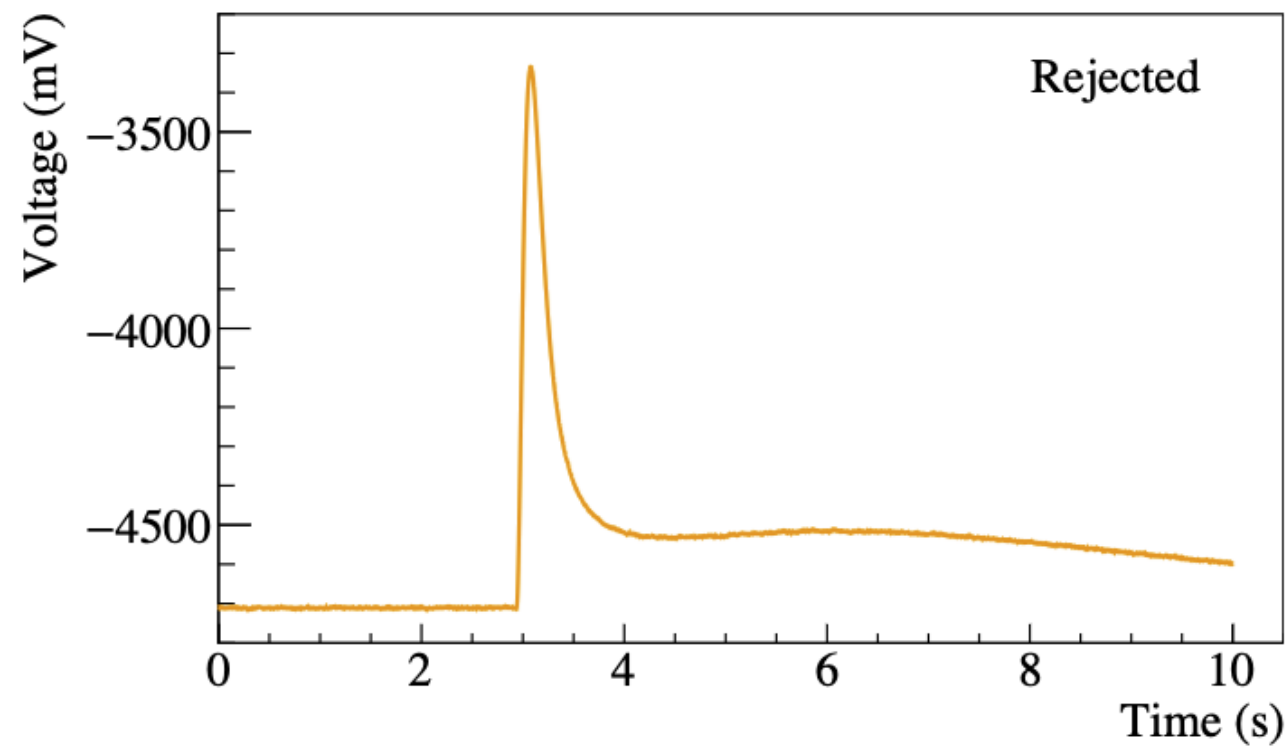
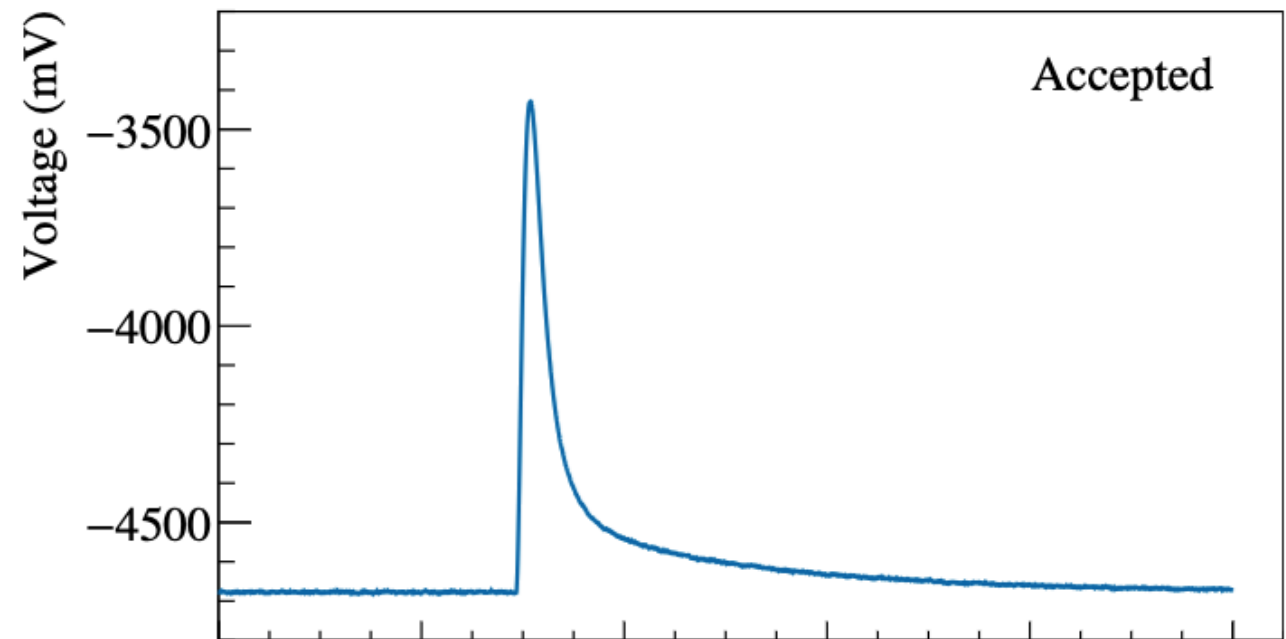


Anti-coincidence Cut

- 88% of signal events are contained within one crystal

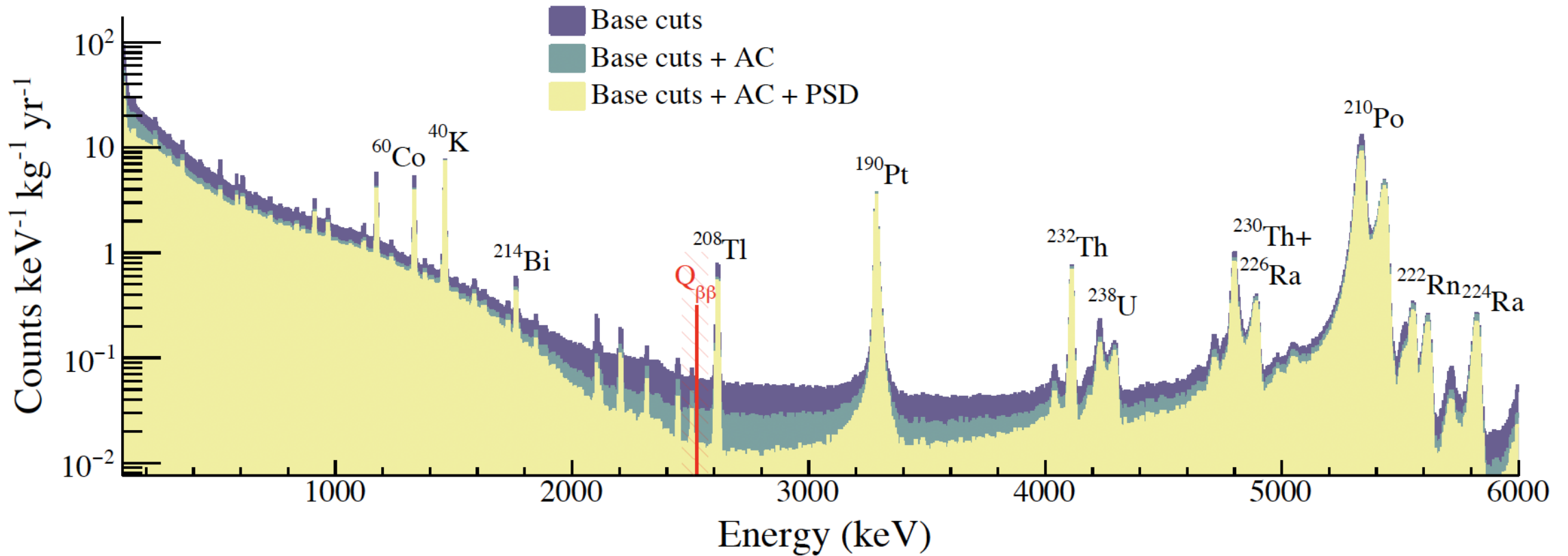


Pulse Shape



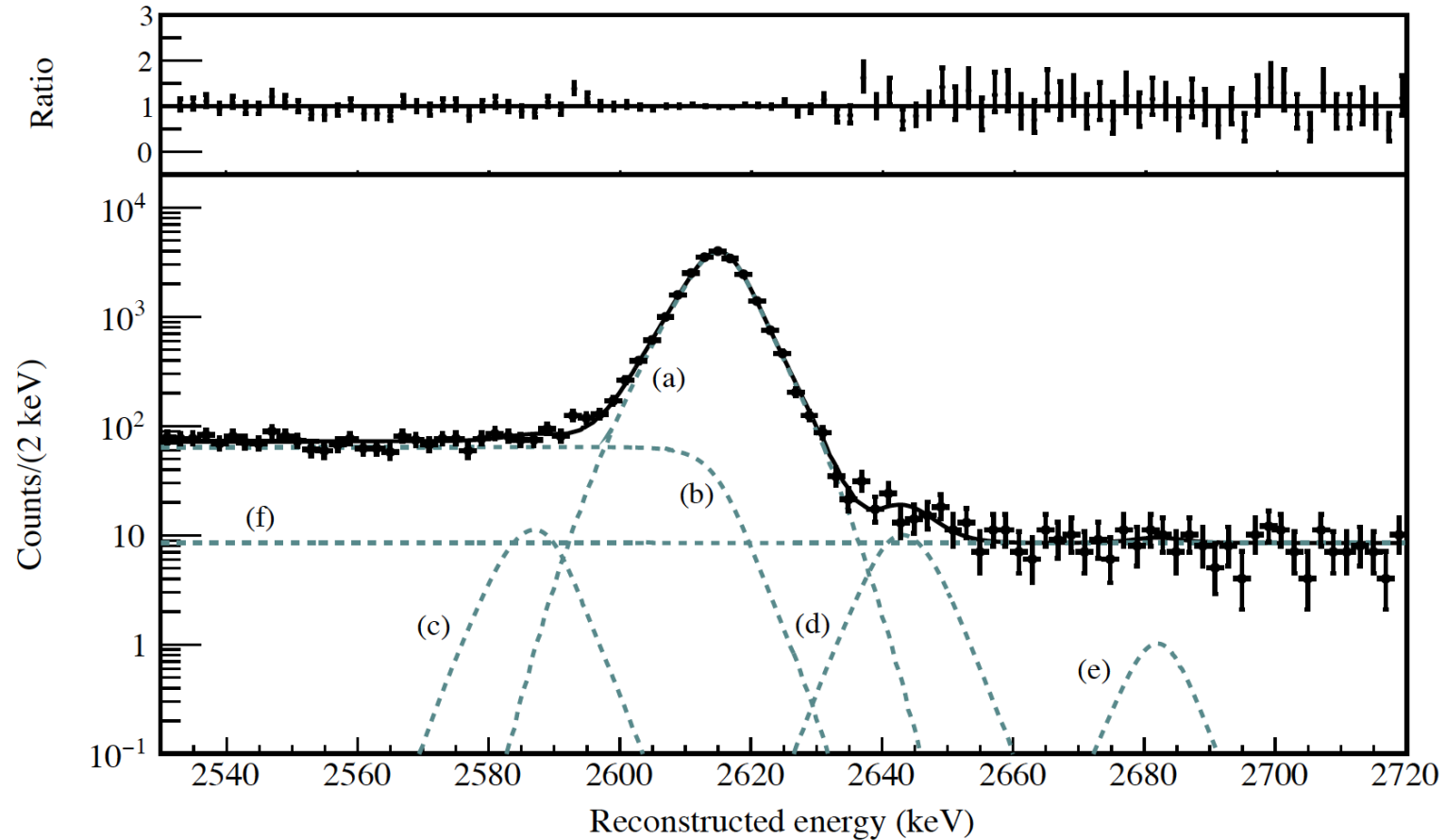
Final Spectrum

Exposure: 2039.0 kg yr TeO₂, 567.0 kg yr ¹³⁰Te
Total Analysis Cut Efficiency is 93.4(18)%



From Science Paper

Detector Response, Lineshape

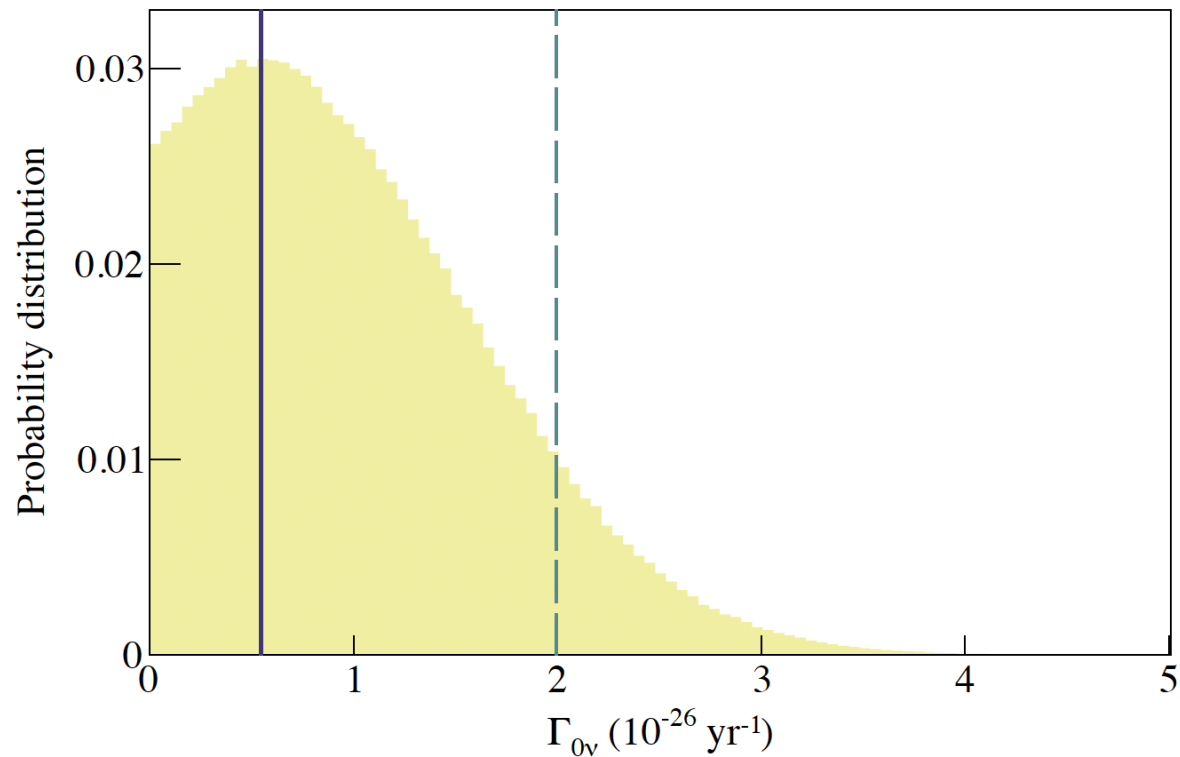


From Science Paper

Fitting Procedure

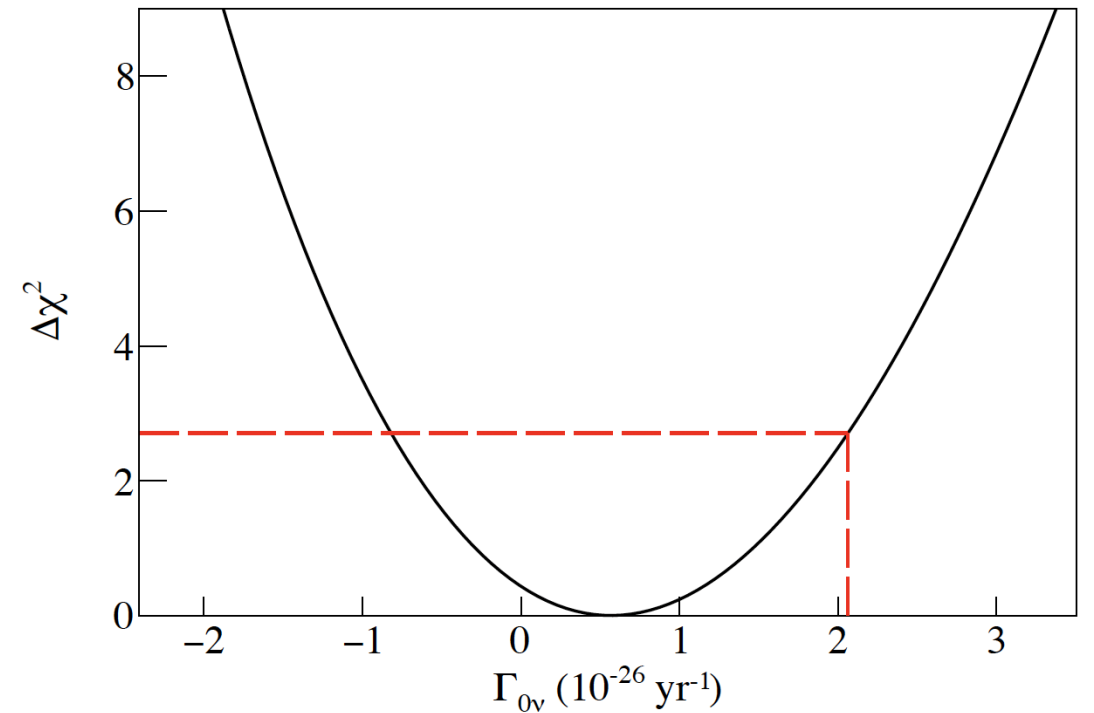
Bayesian Analysis

$$T^{0\nu} > 3.8 \cdot 10^{25} \text{ yr (90\% C.I.)}$$

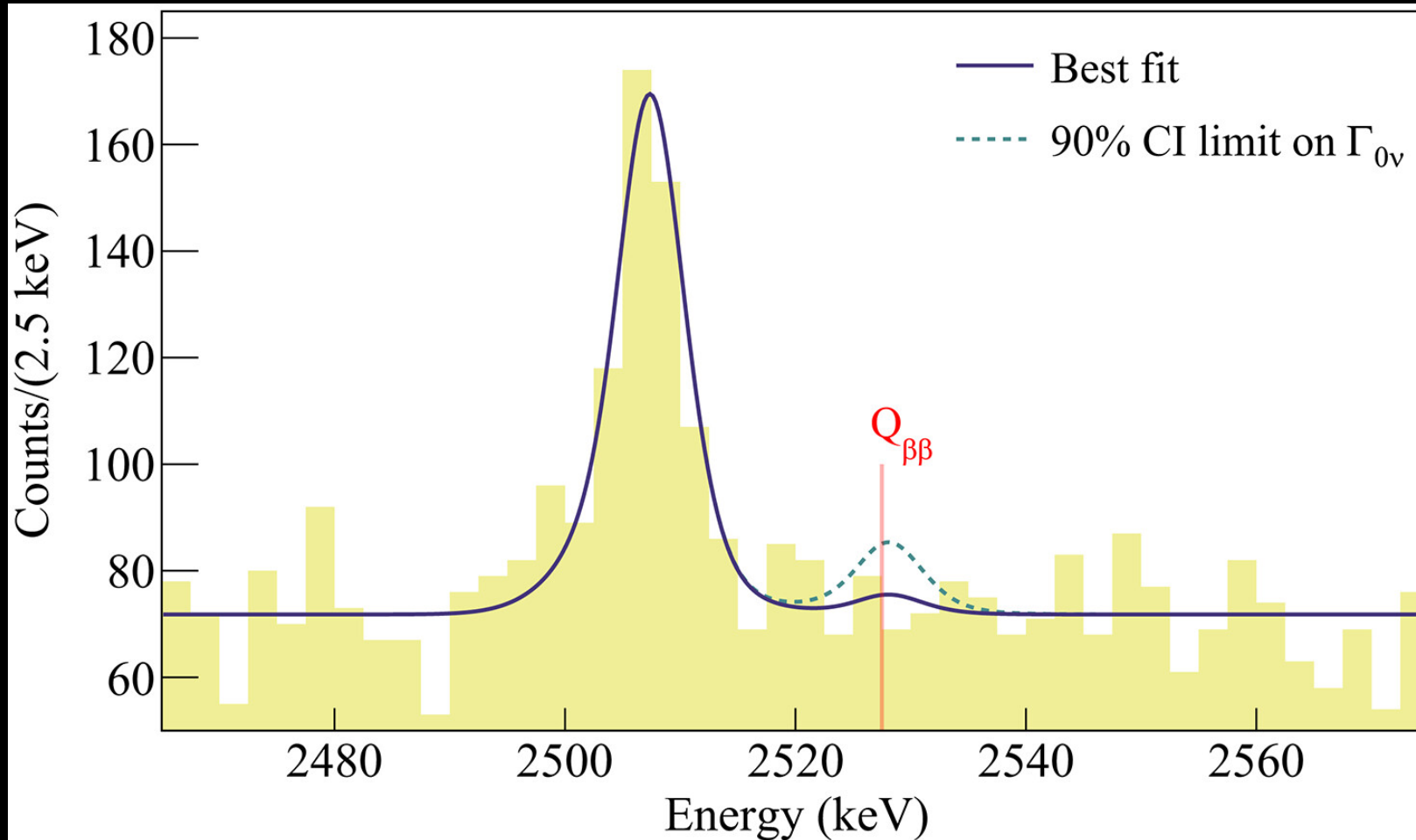


Frequentist Analysis

$$T^{0\nu} > 3.7 \cdot 10^{25} \text{ yr (90\% C.L.)}$$



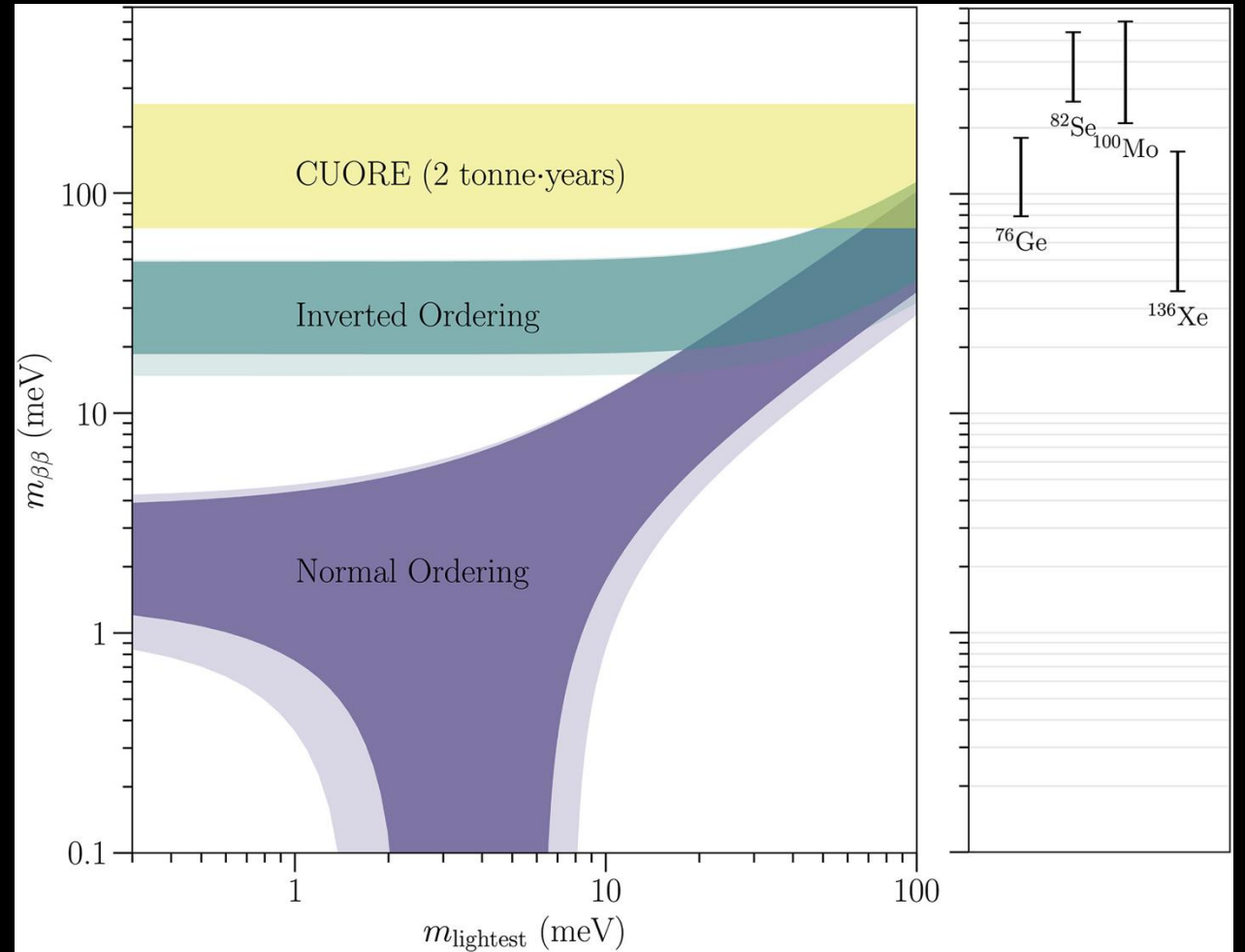
Fit Result 2TY



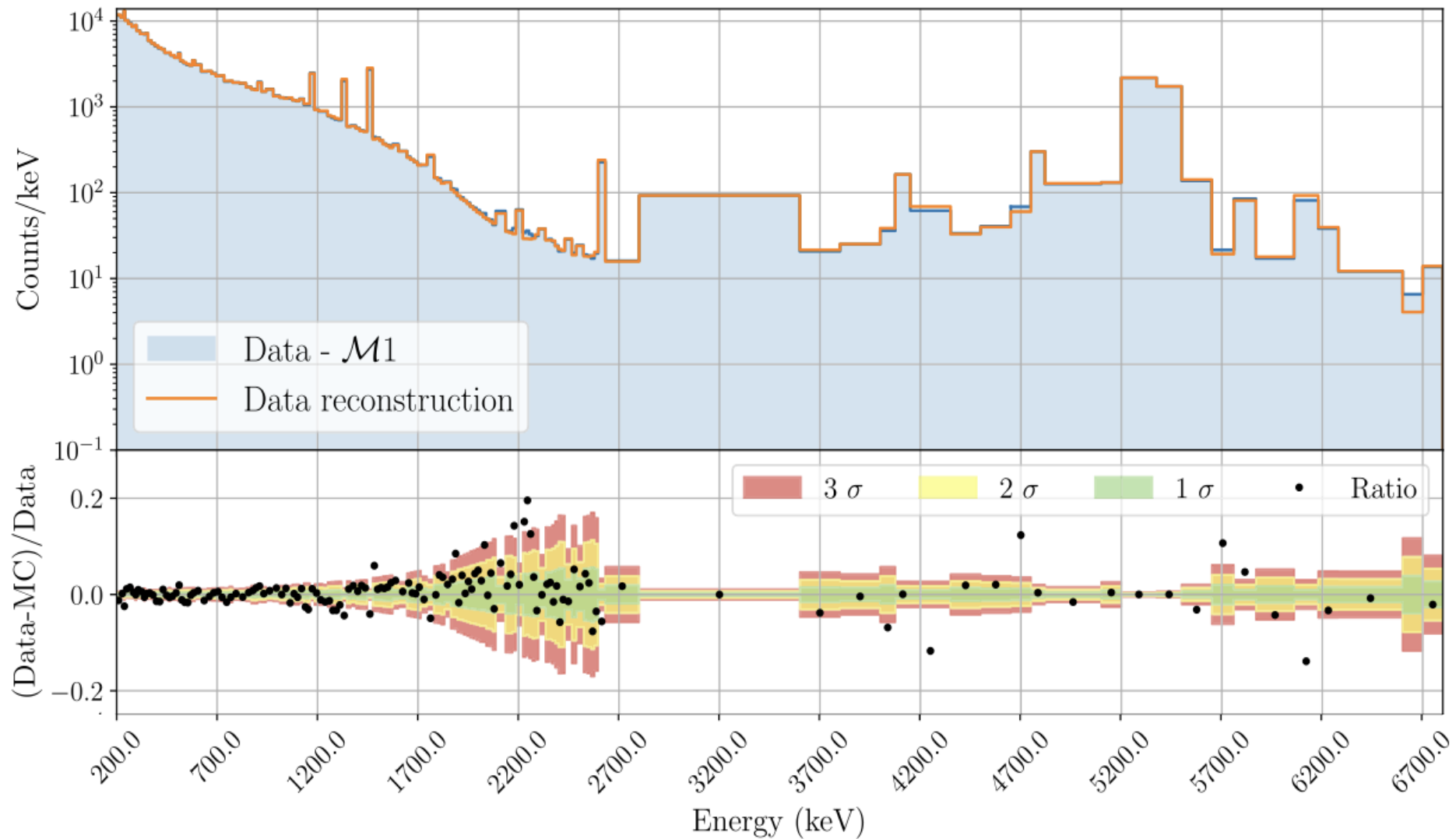
$M_{\beta\beta}$ Limit

$$1/\tau = G^{0\nu} g_A^4 |M^{0\nu}| m_{\beta\beta}^2$$

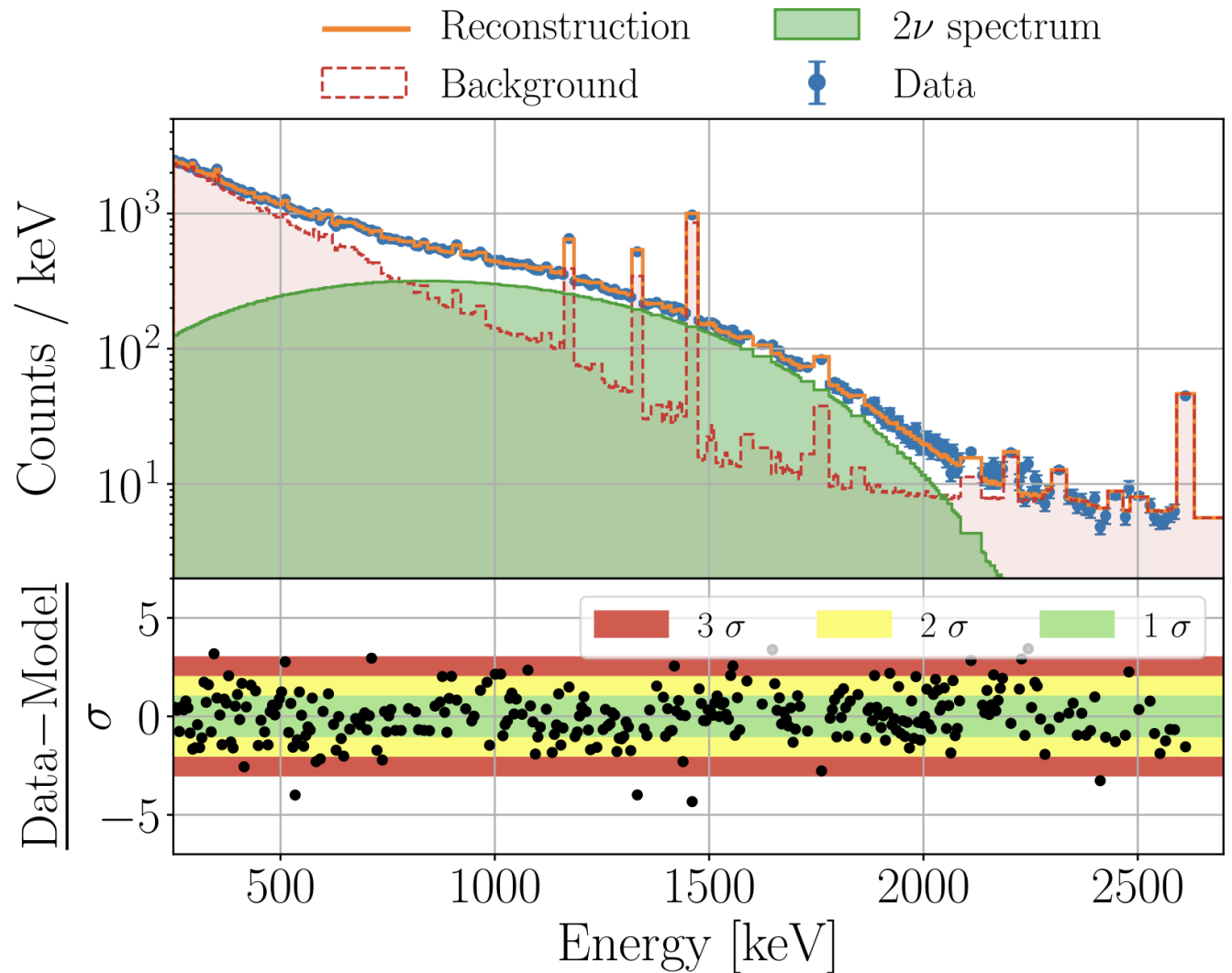
Contours illustrating the 3sigma regions given
By neutrino oscillation measurements



Background Model



$2\nu\beta\beta$ Rate



$$T_{1/2}^{2\nu} = 8.76^{+0.09}_{-0.07}(\text{stat})^{+0.14}_{-0.17}(\text{sys}) \times 10^{20} \text{ yr}$$

CUPID

CUORE Upgrade with Particle Identification



CAL POLY



BERKELEY LAB



Massachusetts Institute of Technology



UNIVERSITY OF SOUTH CAROLINA

université PARIS-SACLAY



UCLA



Yale



Argonne NATIONAL LABORATORY

NIKOLAEV INSTITUTE OF INORGANIC CHEMISTRY



SIBERIAN BRANCH OF RUSSIAN ACADEMY OF SCIENCES



Centro de Astropartículas y Física de Altas Energías Universidad Zaragoza

Northwestern



FUNDACIÓN AGENCIA ARAGONESA PARA LA INVESTIGACIÓN Y EL DESARROLLO



LES 2 INFINIS LYON



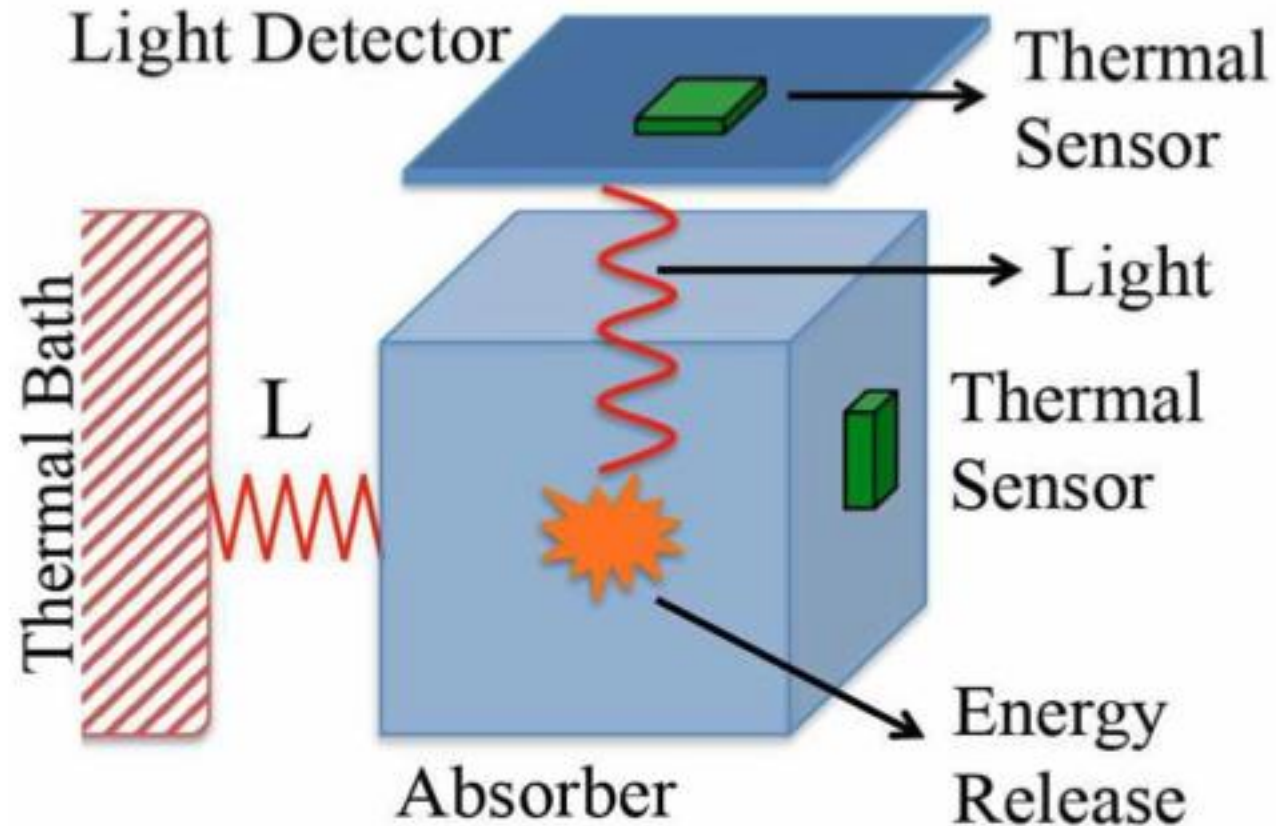
SAPIENZA UNIVERSITÀ DI ROMA



UGA Université Grenoble Alpes



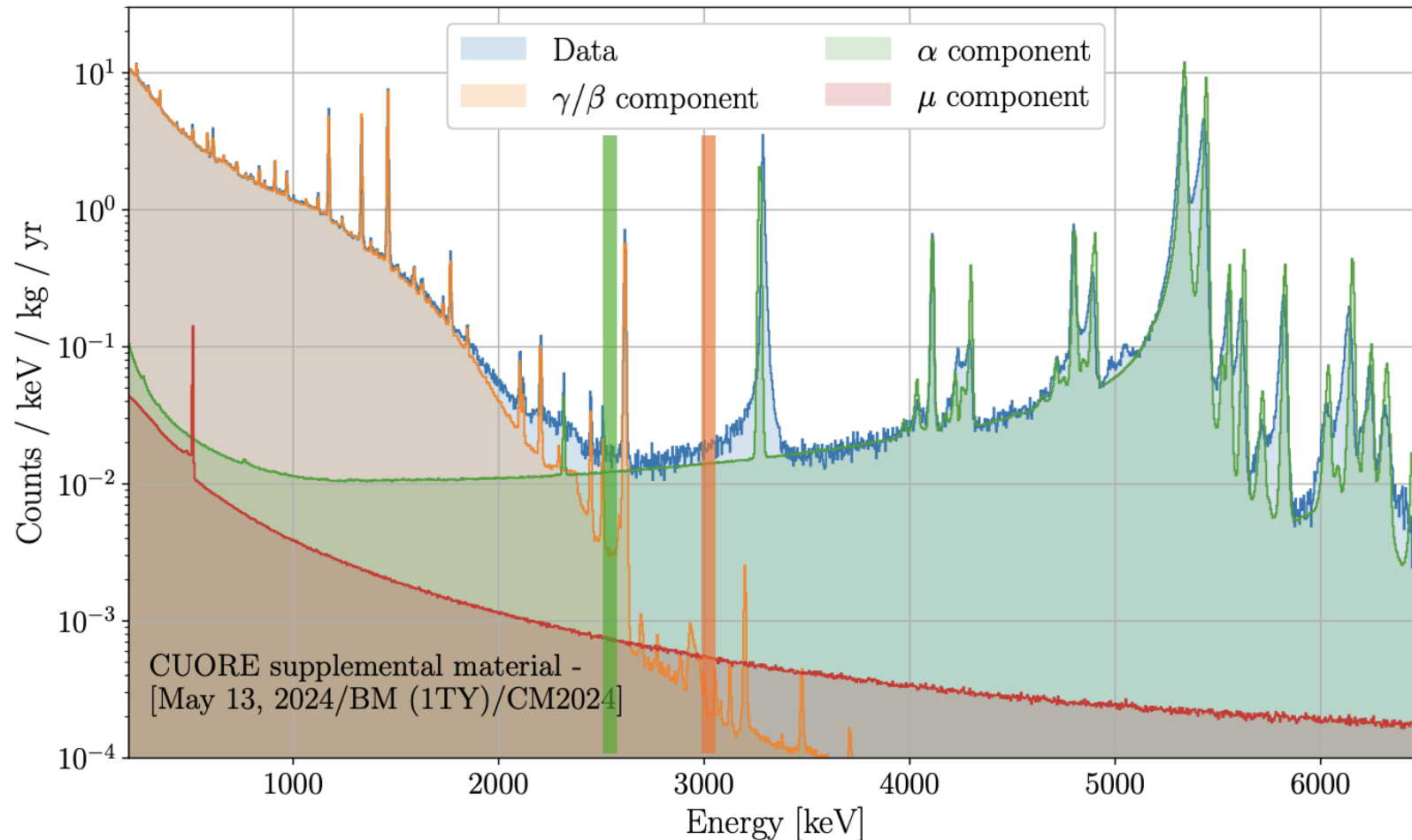
CUPID Concept



Several upgrades made to the CUORE design

Switch from TeO_2 to Li_2MoO_4

Lessons Learned from CUORE

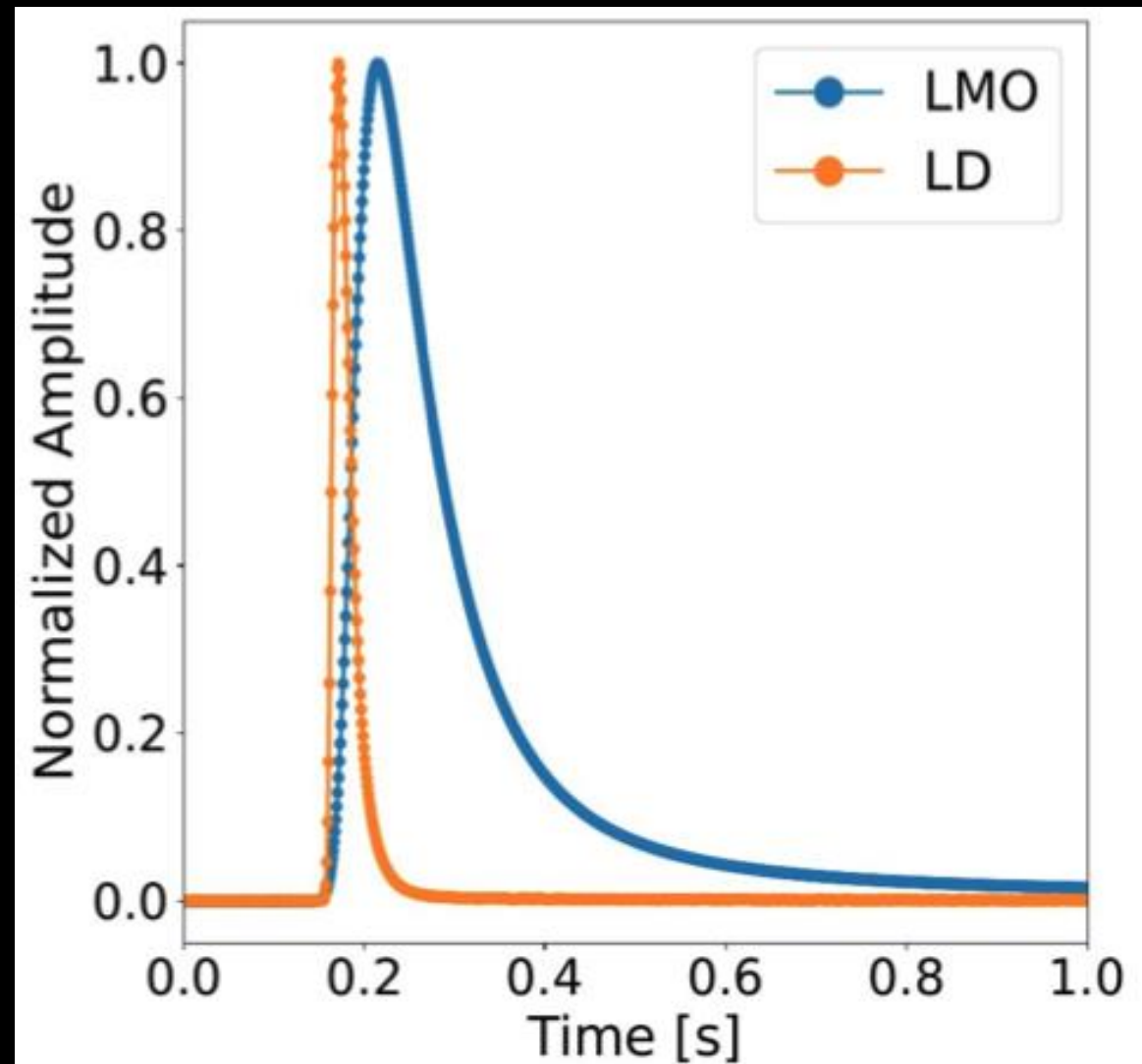
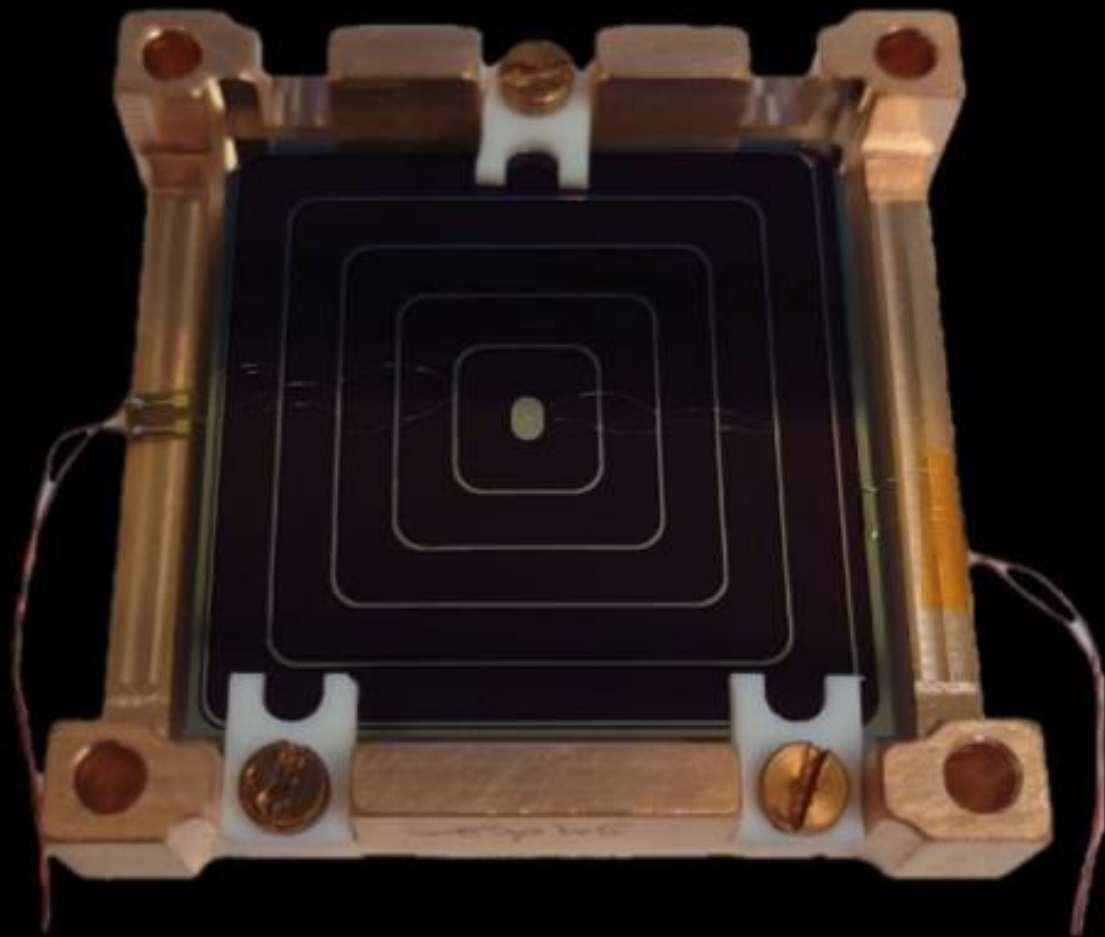


A 99%+ efficient muon veto & a 98%+ alpha rejection scheme paves the way to a background rate Of 10^{-4} counts/kg/keV/year

$Q_{\beta\beta}$ now above the 2.615 keV Tl-208 line

CUORE background rate is $(1.42 \pm 0.01) \times 10^{-2}$ c/kg/yr

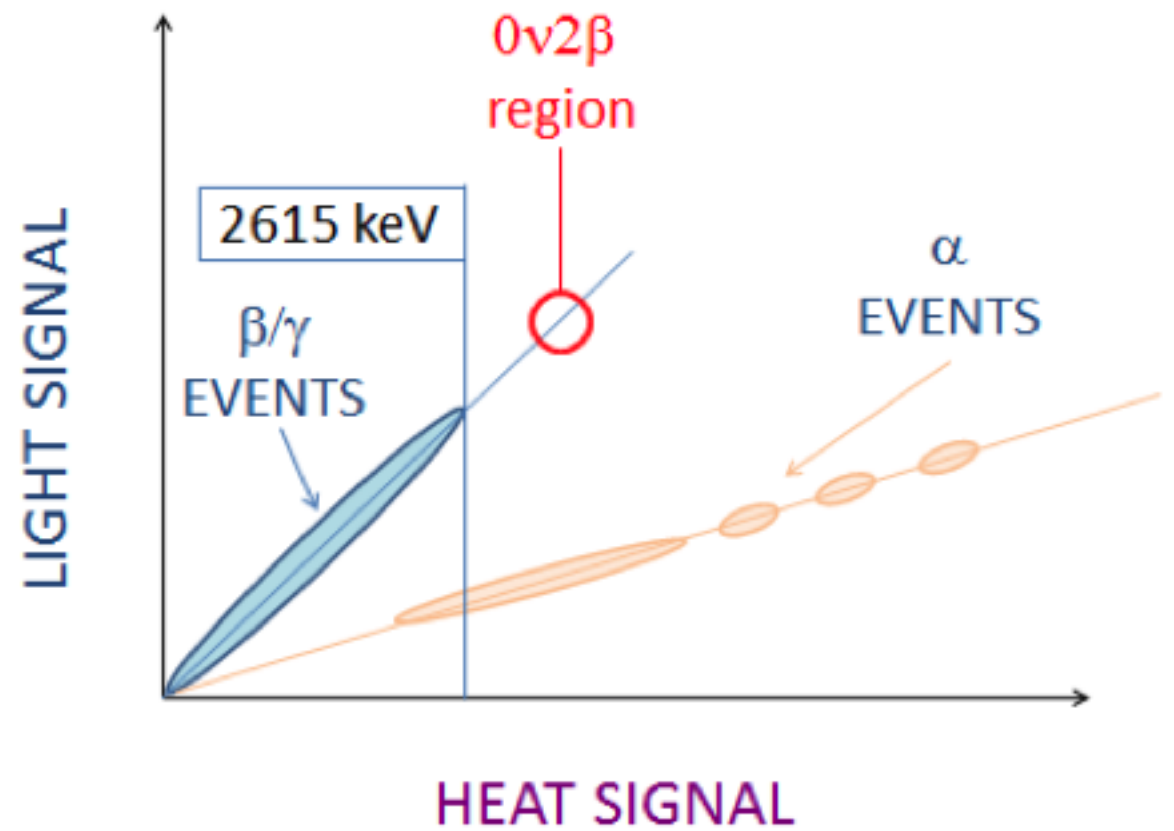
Upgrades: Light Detectors



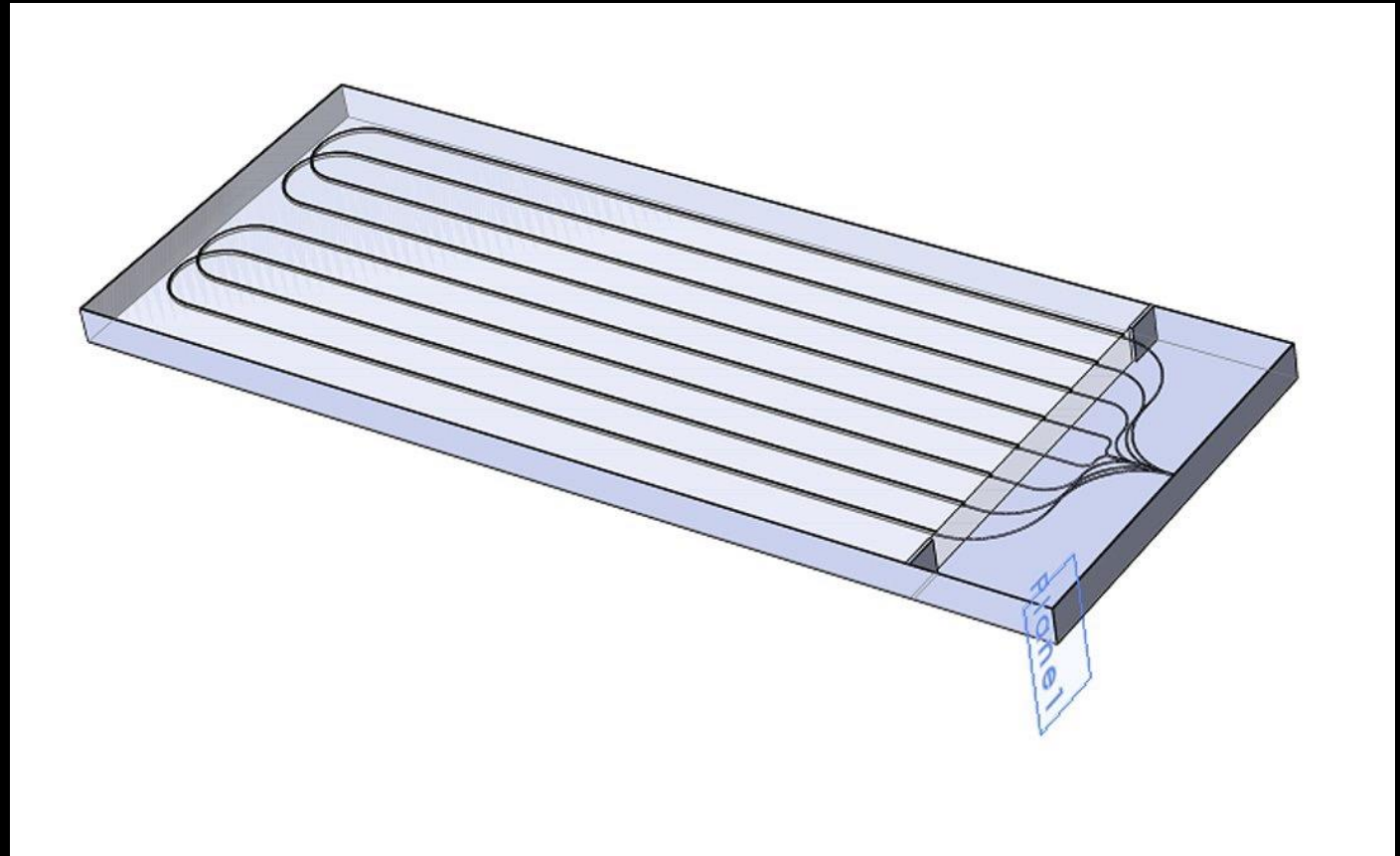
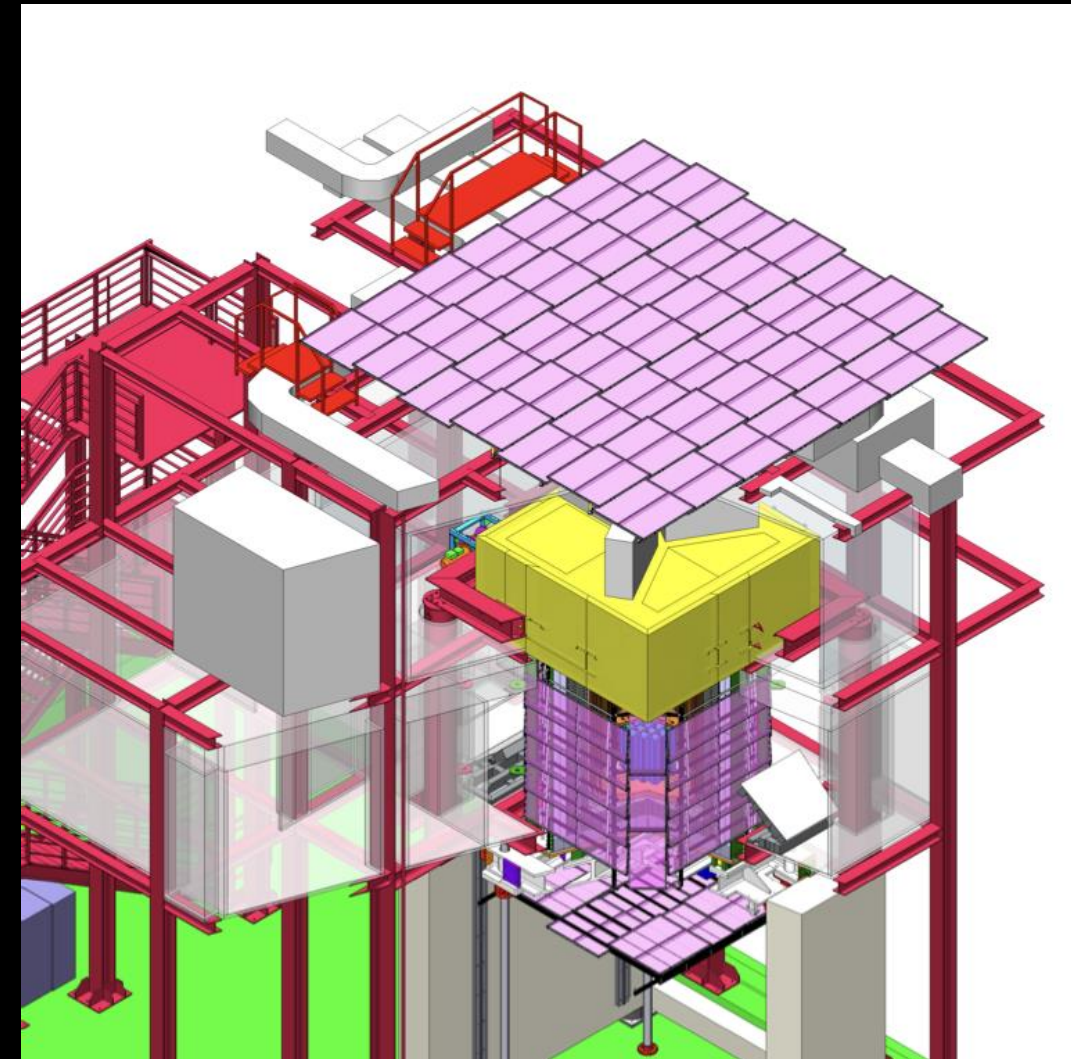
Particle ID

A primary advantage of the detectors is the ability to discriminate alpha events

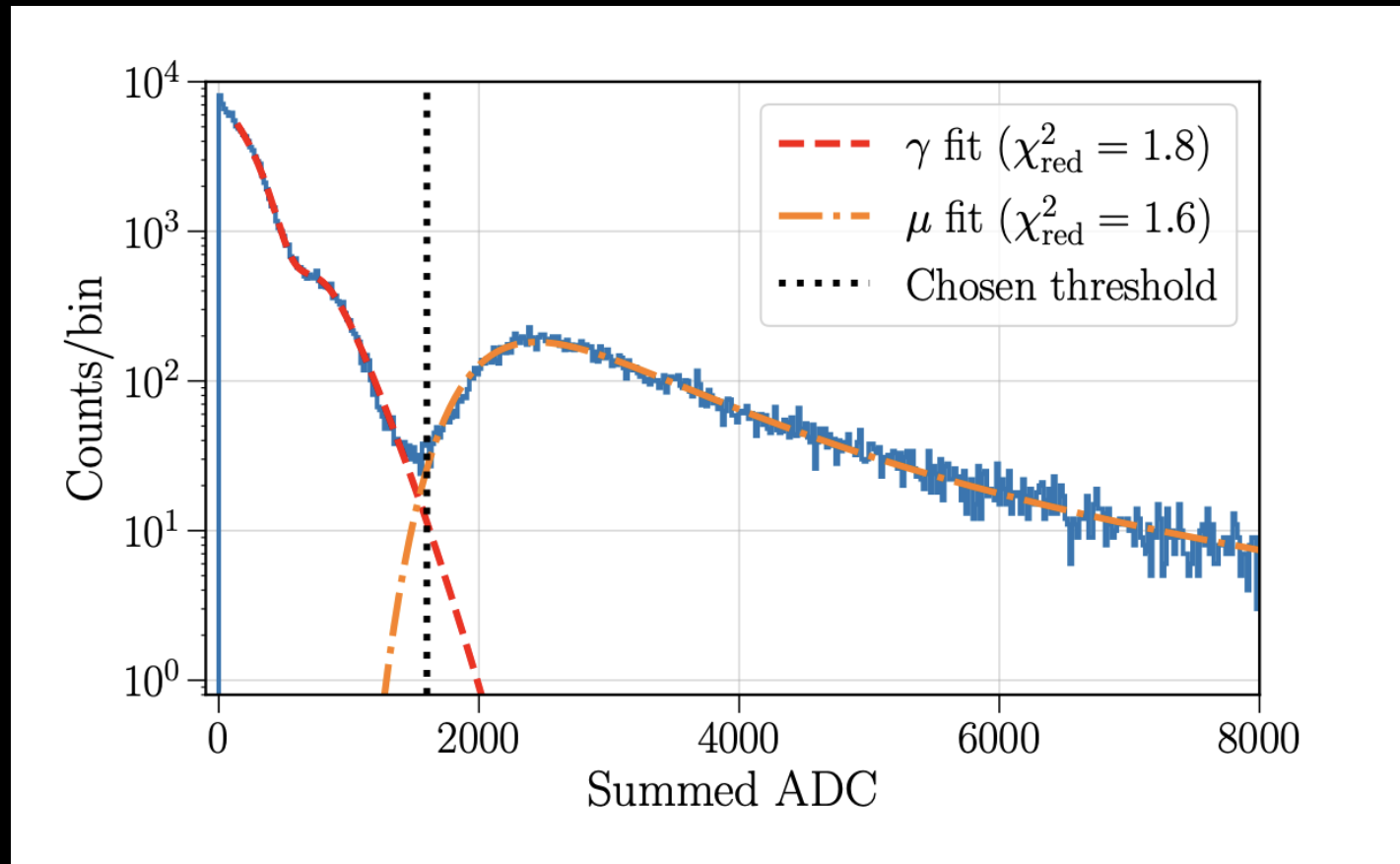
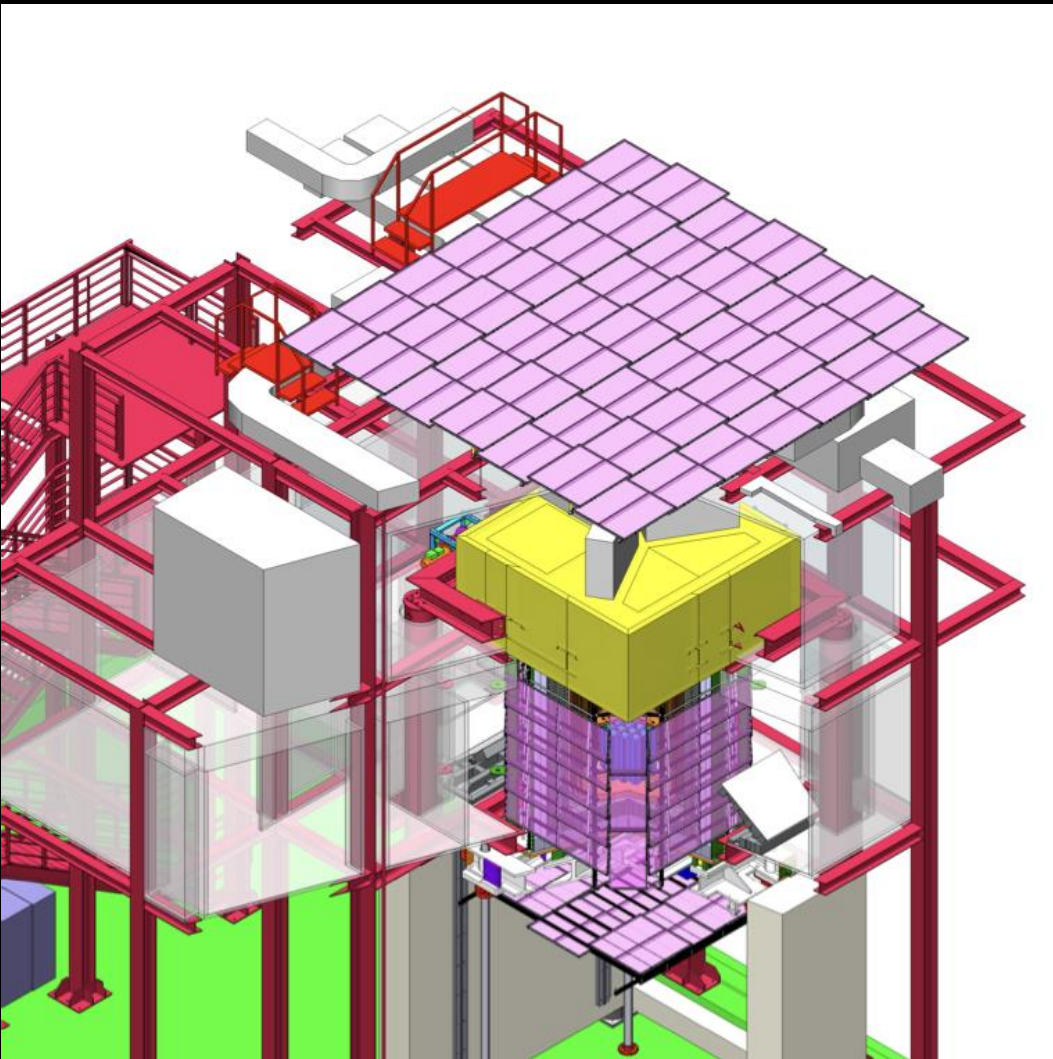
Nominally achieve 98%+ rejection



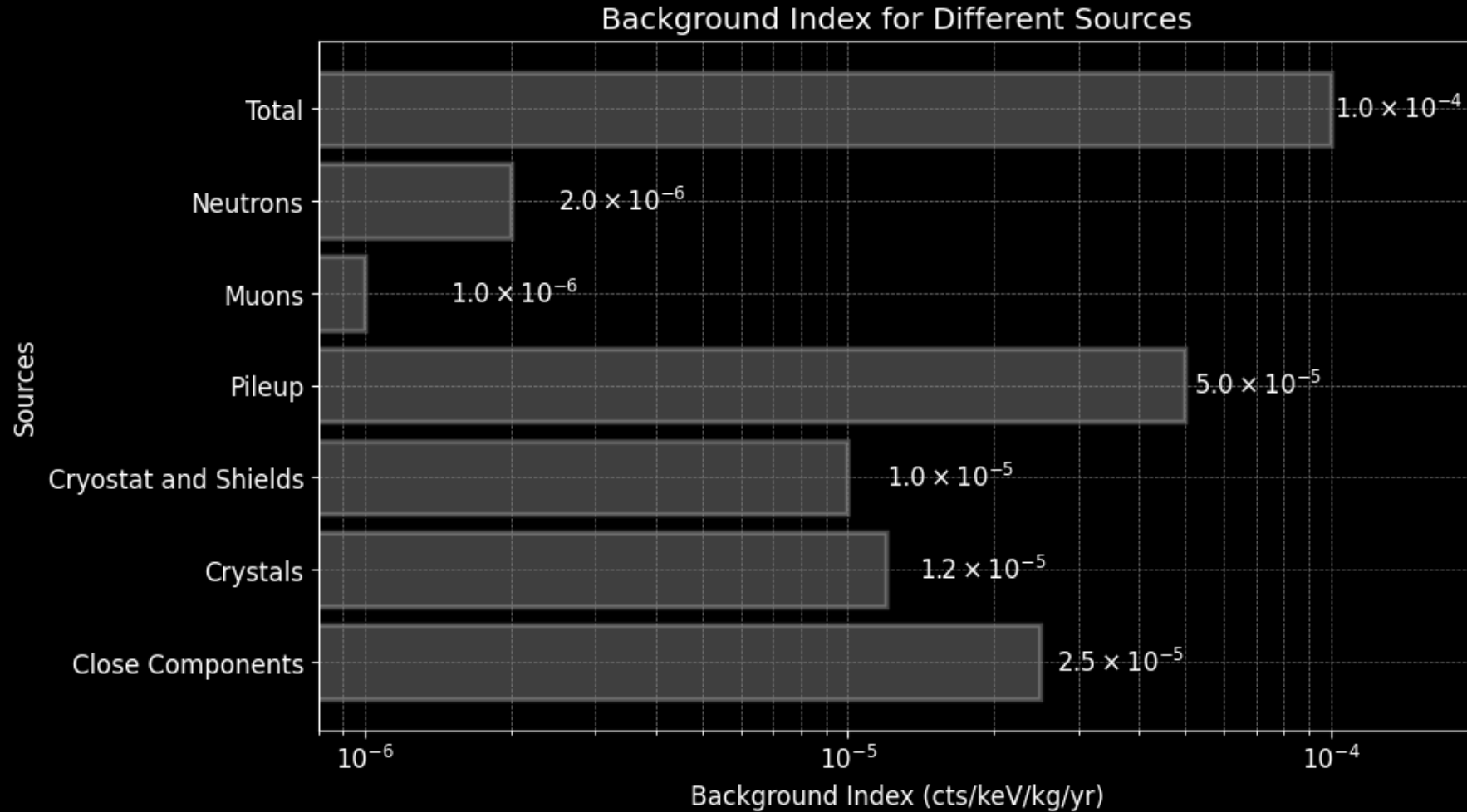
Upgrades: Muon Veto



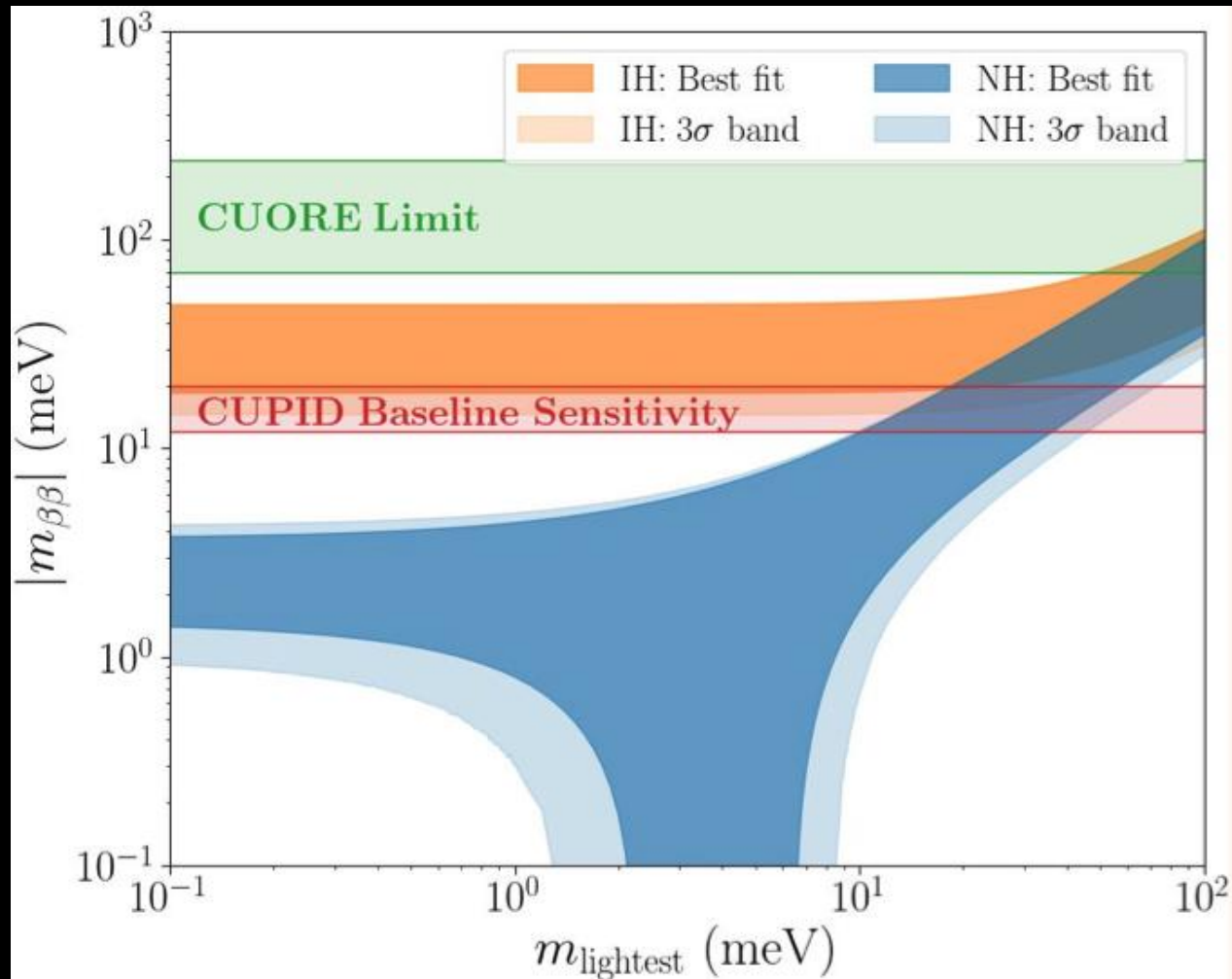
Upgrades: Muon Veto



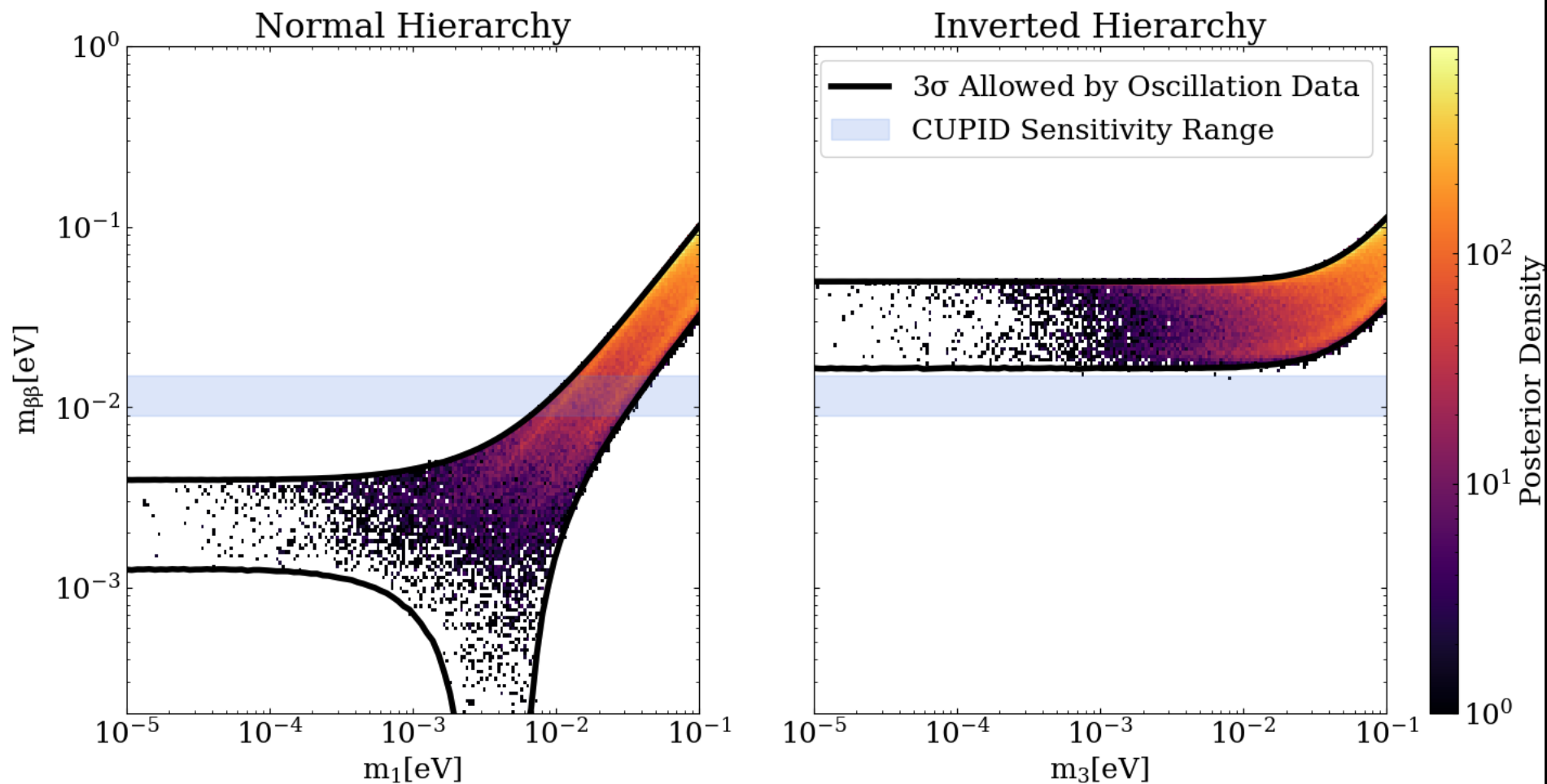
Background Goals



Projected Sensitivity



Projected Sensitivity



Near Future

CUORE will begin to transition to CUPID in a phased approach

2030: CUPID Stage-I: $1/3$ of the crystals & 3 year data-taking

2034: CUPID full array: Add the remaining $2/3$ of the crystals & full data-taking

CUPID (Stage I)

